

Elastographie : imagerie sismique du corps humain

LOA: Stefan Catheline, Laurent Sandrin, Jean-Luc Gennisson, Jeremy Bercoff, Mickaël Tanter, Ros Kiri Ing, Nicolas Quieffin, Christophe Barrière, Xavier Jacob, Daniel Royer, Didier Cassereau, Mathias Fink

LAU: Carlos Negreira, Xavier Brum, Nicolas Benech, Thomas Gallot

LGIT: Thomas Gallot, Philippe Roux, Soumaya Latour, Eric Larose, Michel Campillo

Palpation = élasticité de cisaillement

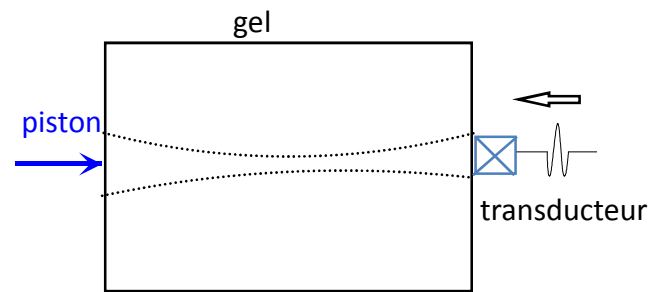
Échographie = élasticité de compression

Enjeu : -imagerie de palpation
-physique des ondes dans la matière molle

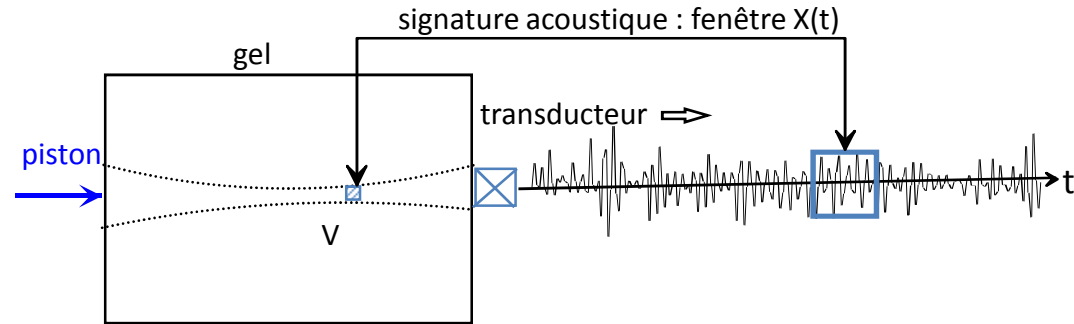
Qu'est-ce que l'élastographie?



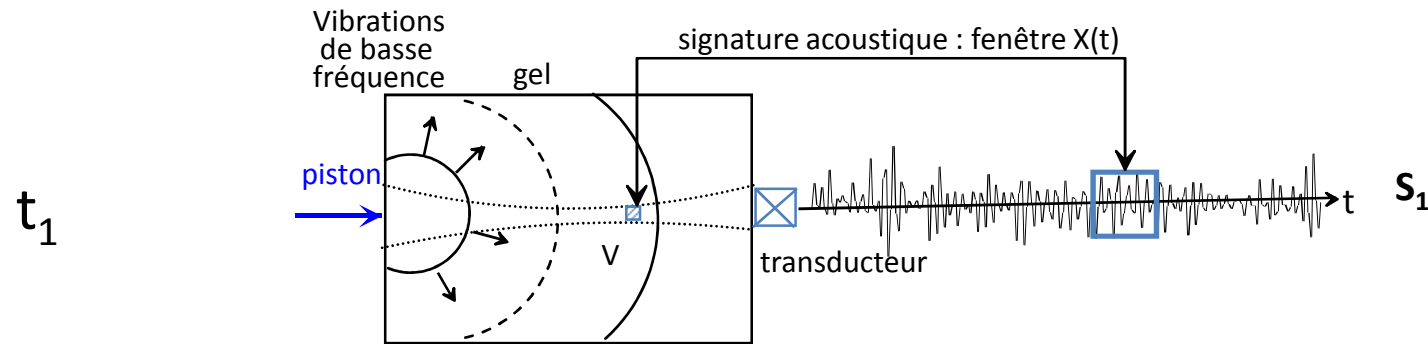
Interférométrie speckle ultrasonore



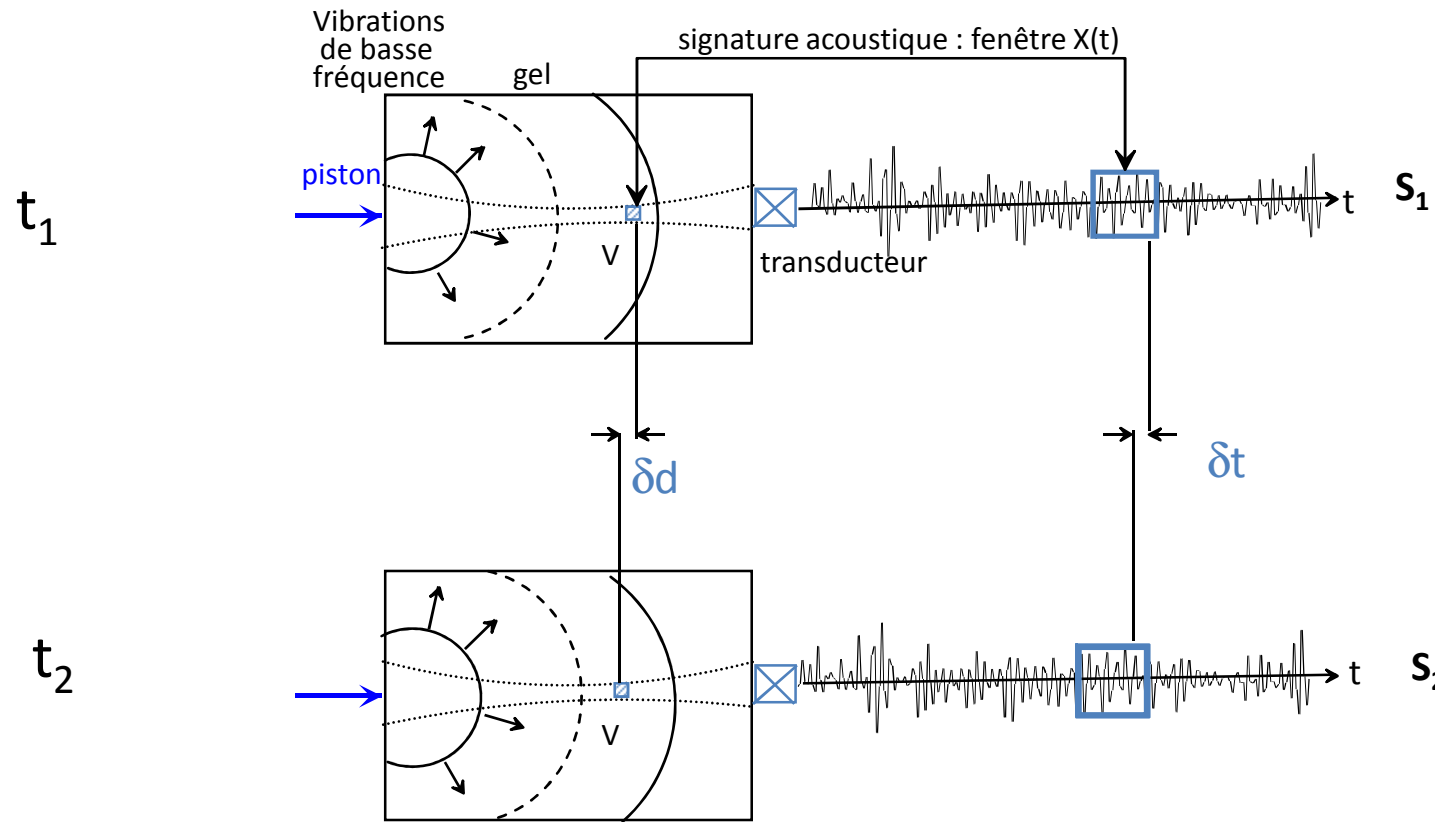
Interférométrie speckle ultrasonore



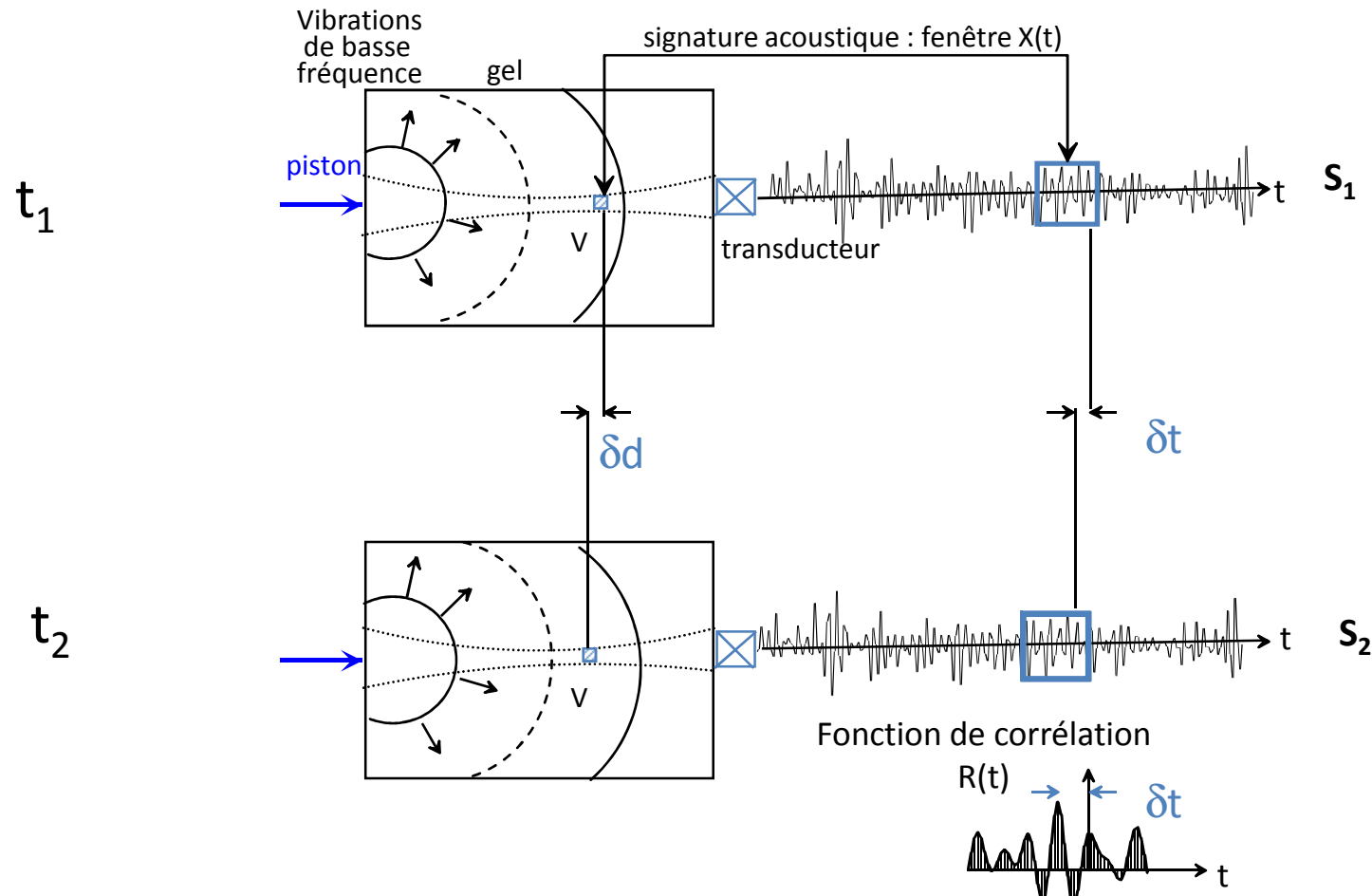
Interférométrie speckle ultrasonore



Interférométrie speckle ultrasonore



Traitement de signal : intercorrélation interpolée



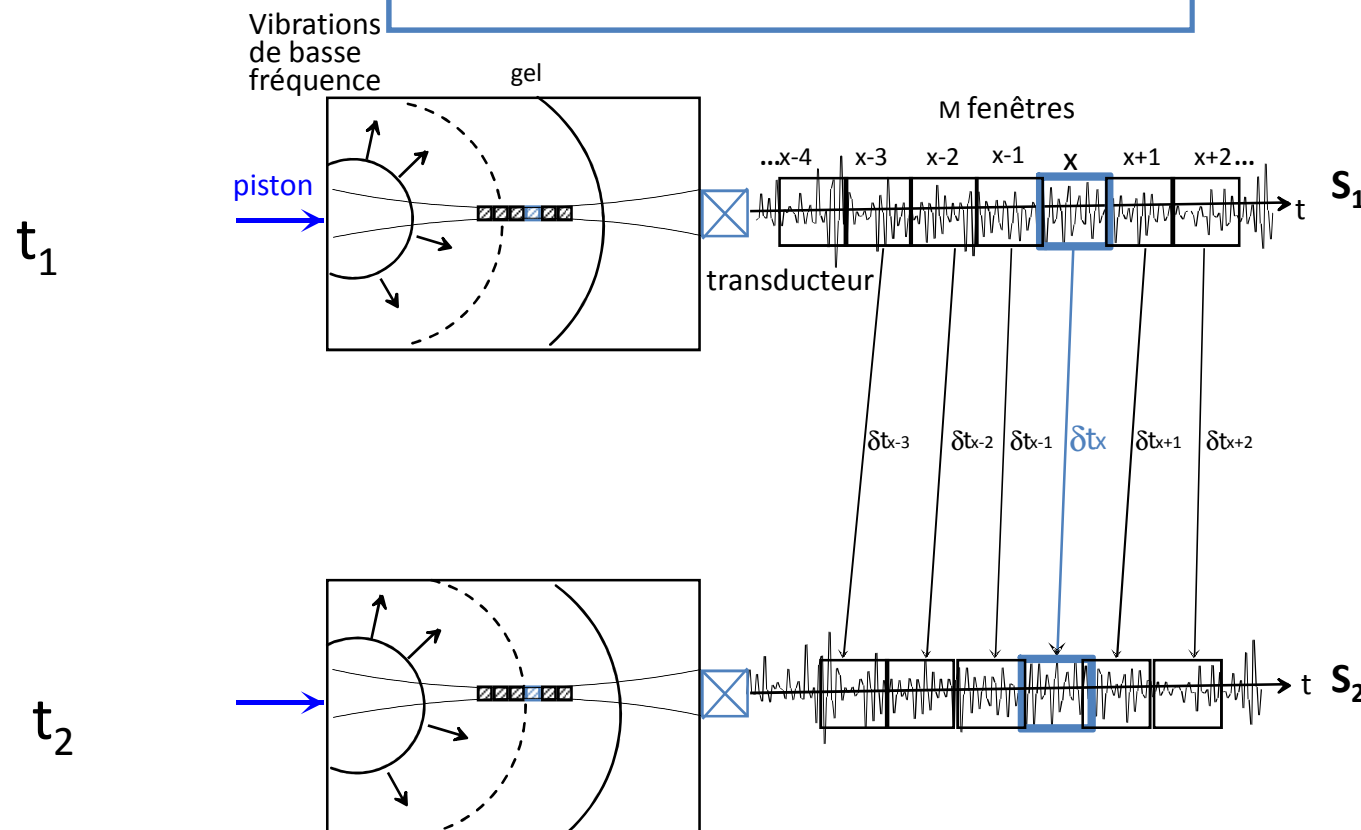
RESULTAT:

Déplacement AXIAL de la fenêtre X

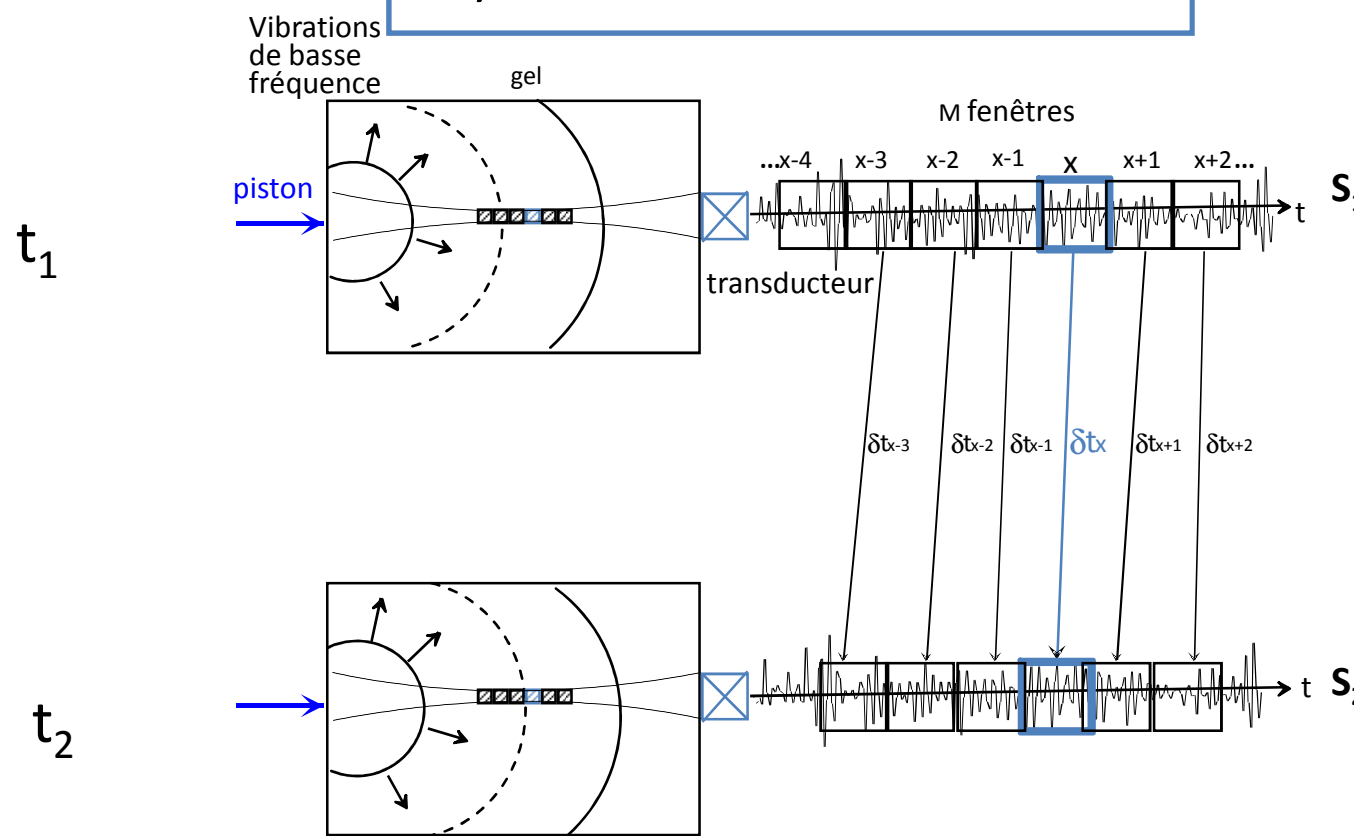
$$\delta d = c \delta t / 2$$

(Precision 1 μm)

1) Itération sur les fenêtres

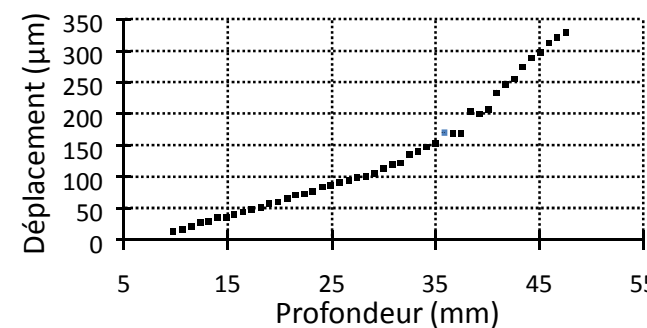


1) Itération sur les fenêtres

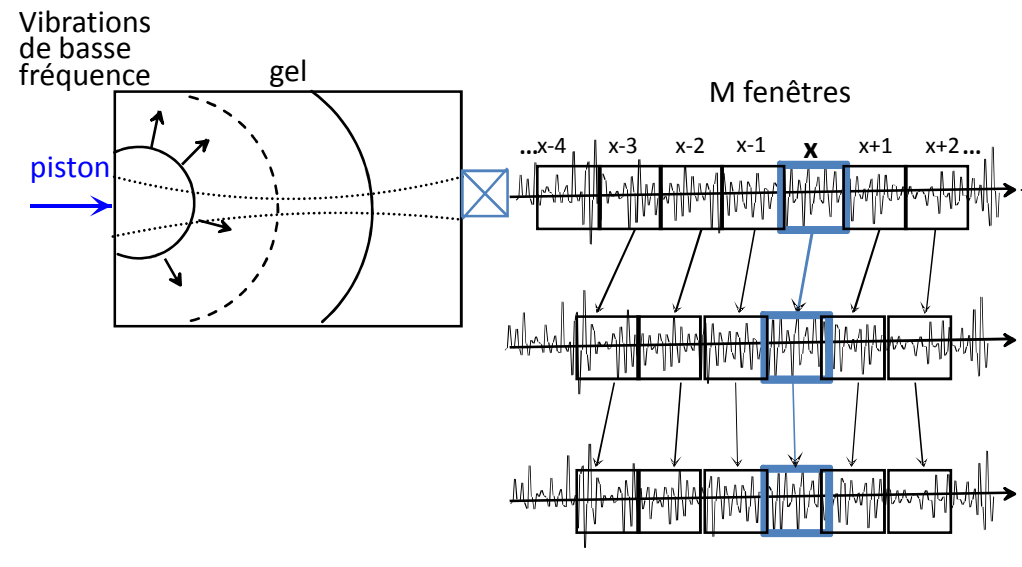


RESULTAT:

Déplacement des M fenêtres entre S_1 et S_2



2) Itération sur les tirs ultrasonores



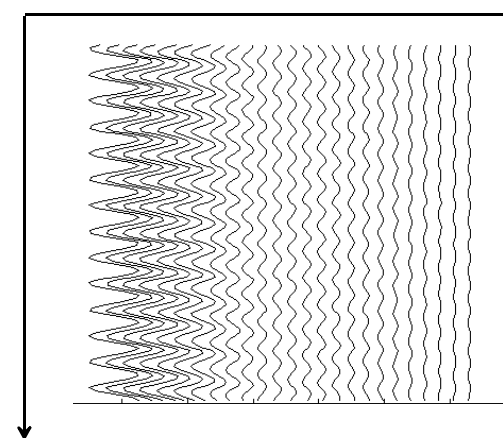
•
etc...

Profondeur

RESULTAT:
Sismogramme des déplacements
(matrice Mx(N-1))

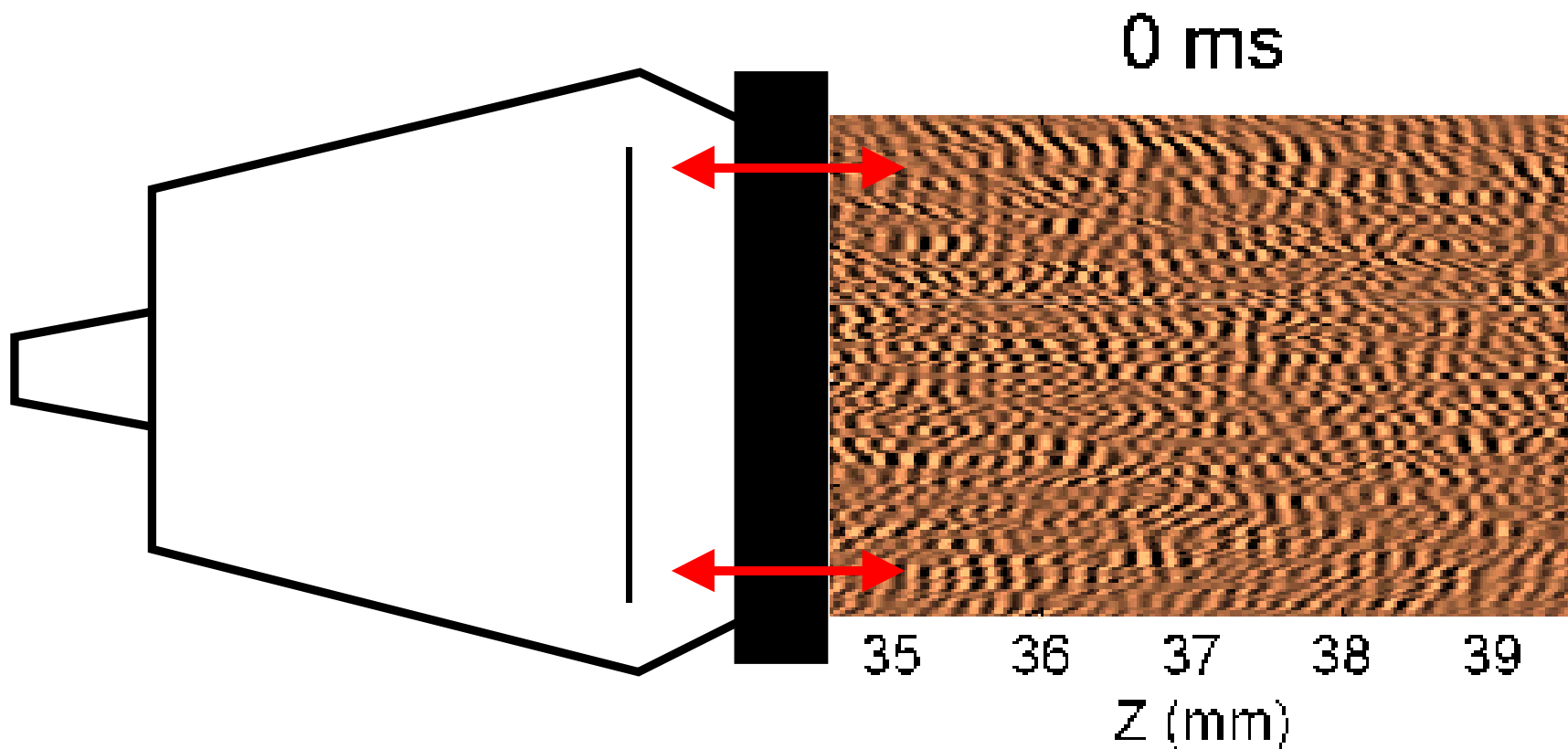


Temps

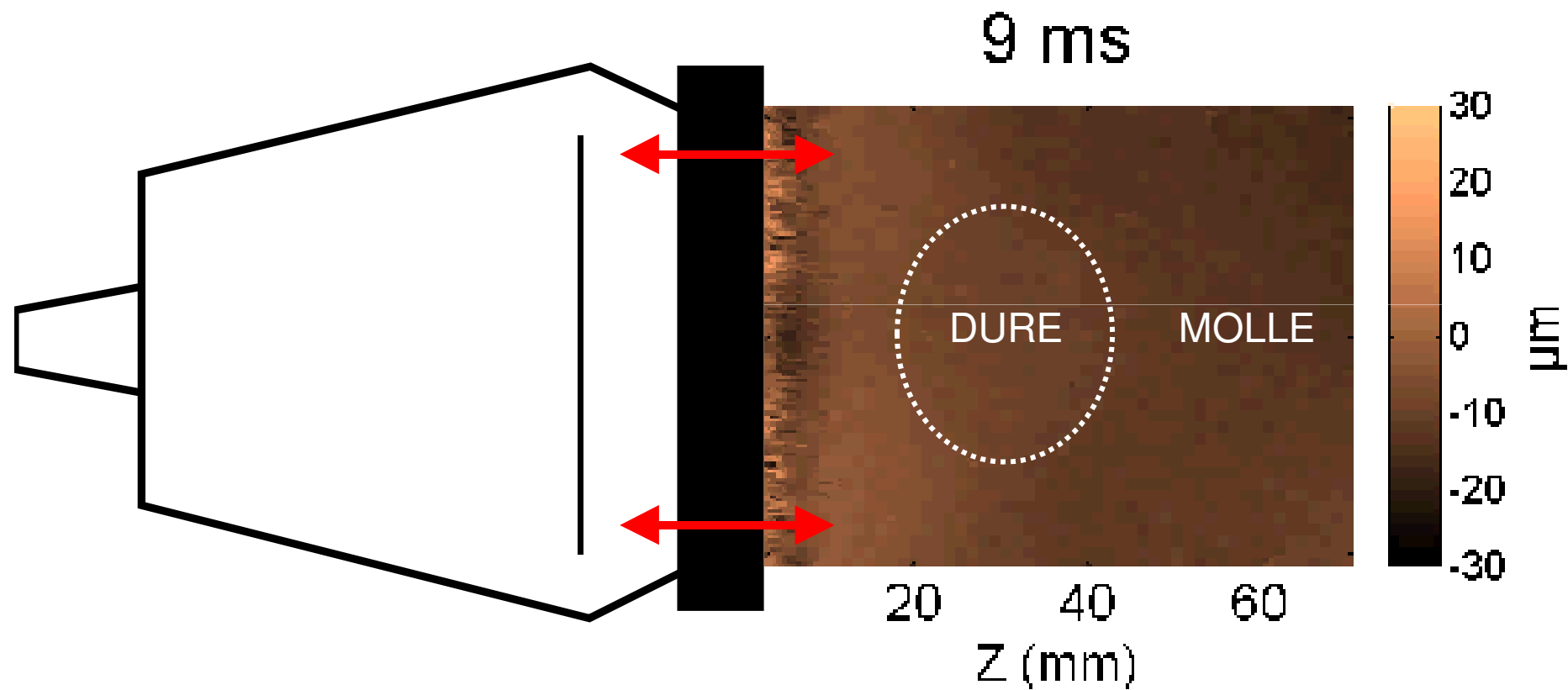


t_1
 t_2
 t_3

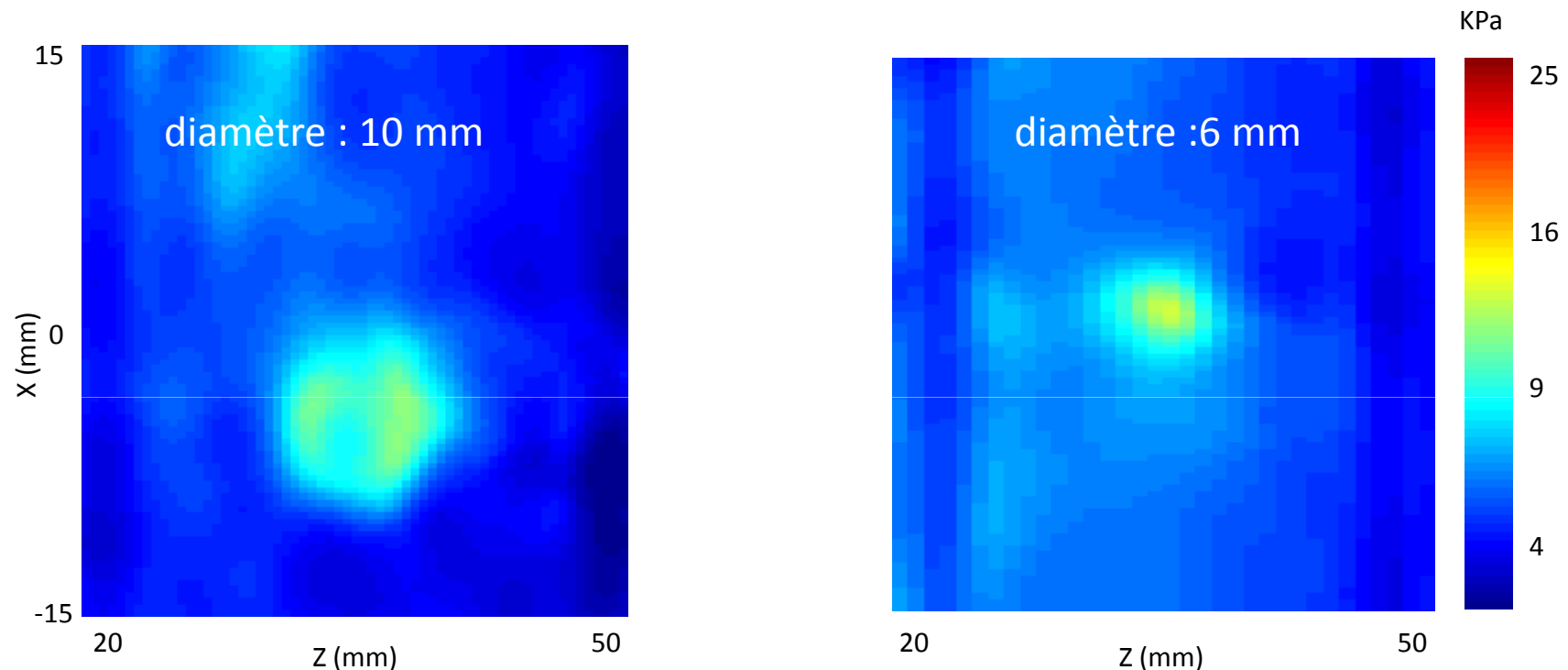
3) Itération sur les transducteurs ultrasonores



Film de la composante z des déplacements



Problème inverse: résultats expérimentaux dans des gels

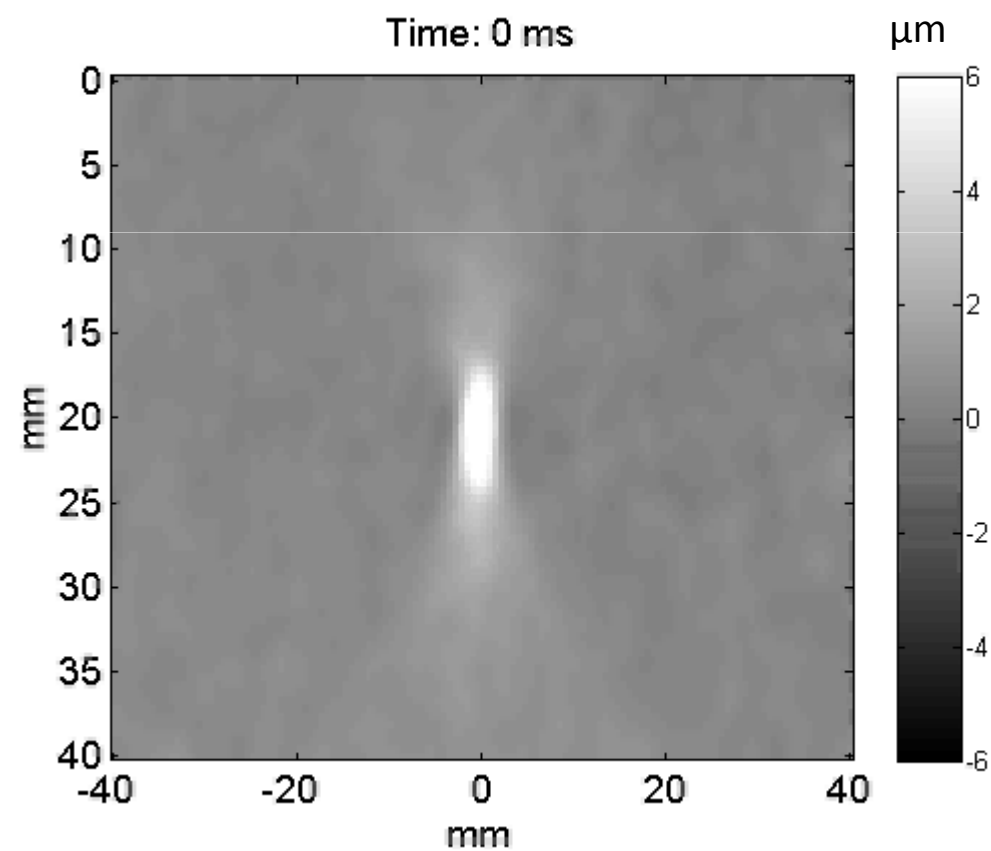
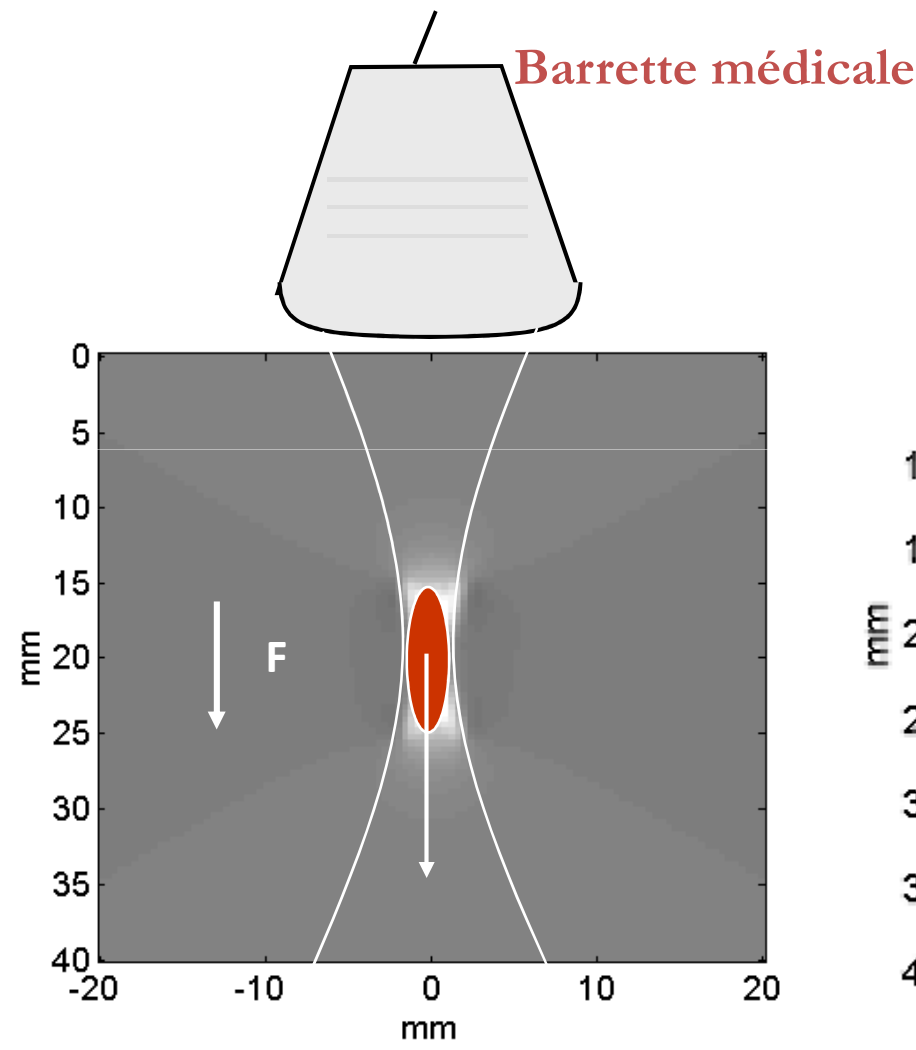


Quelques grandeurs caractéristiques: $V_p \sim 1500 \text{ ms}^{-1}$, $\lambda = 2.25 \text{ Gpa}$ $f \sim 0.5\text{-}20 \text{ MHz}$

$V_s \sim 2 \text{ ms}^{-1}$, $\mu = 2.5 \text{ kPa}$, $f \sim 10 \text{ Hz} \text{-} 1 \text{ kHz}$

Echographe du commerce: **50Hz Ultrafast: 5000Hz**

La pression de radiation



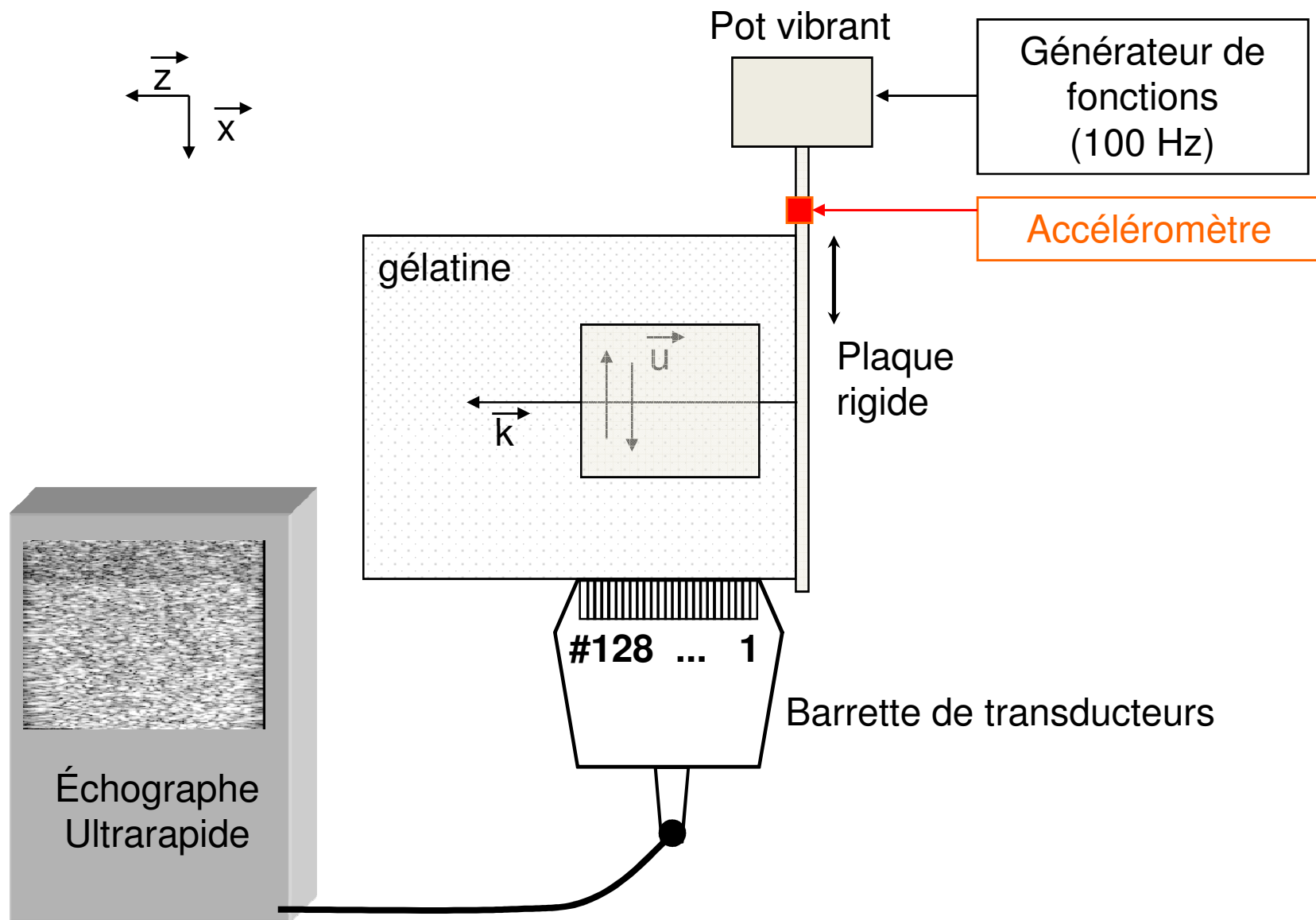
Echosens (2002): le Fibroscan



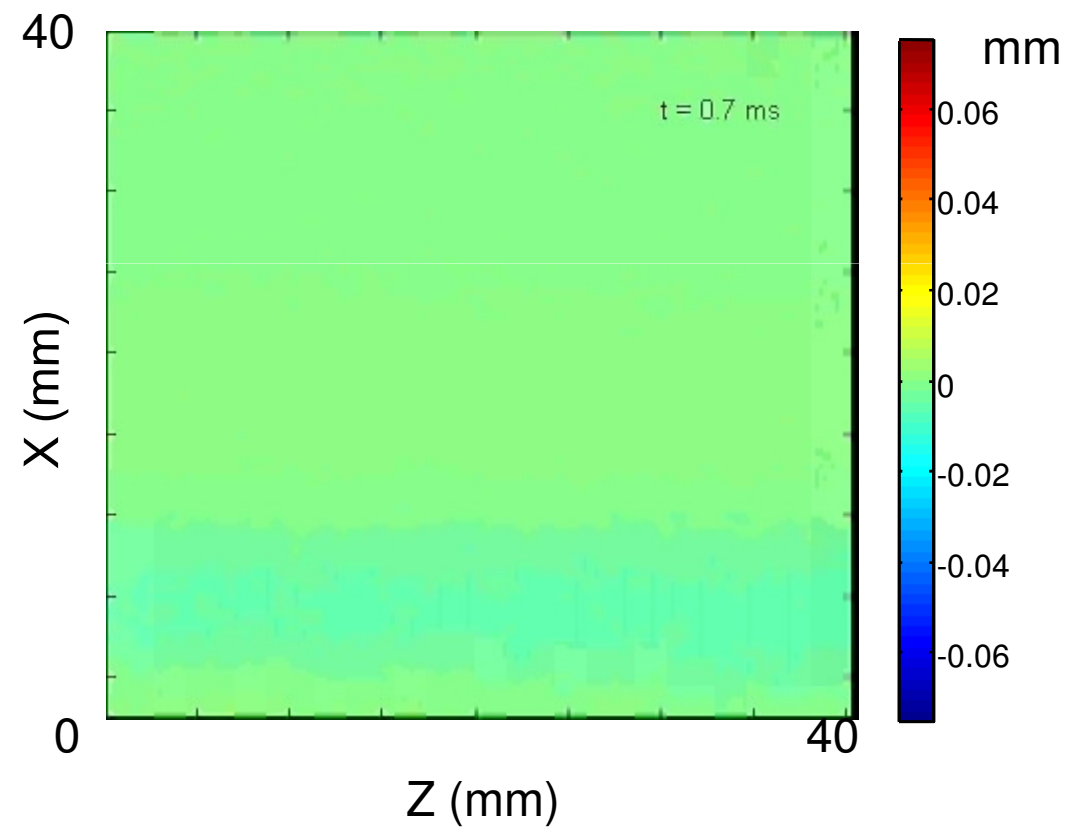
Supersonic Imagine (2005): l'Aixplorer



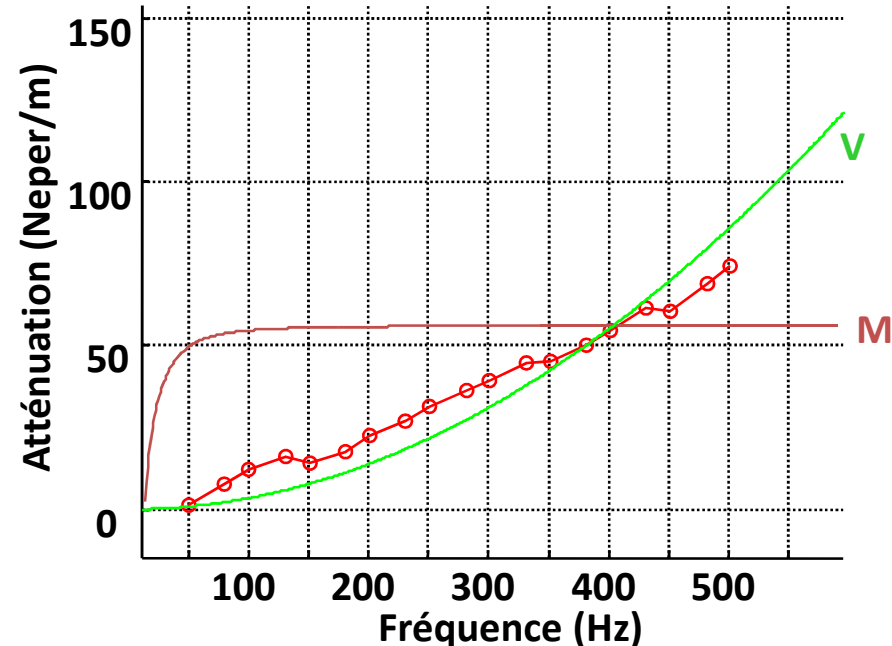
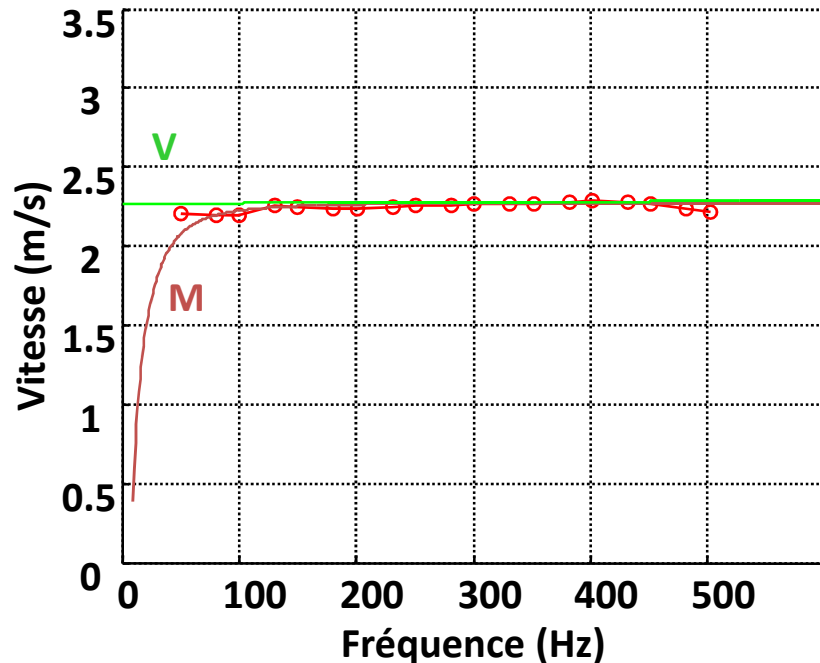
Montage expérimental: onde S plane



Expérience d' onde S plane



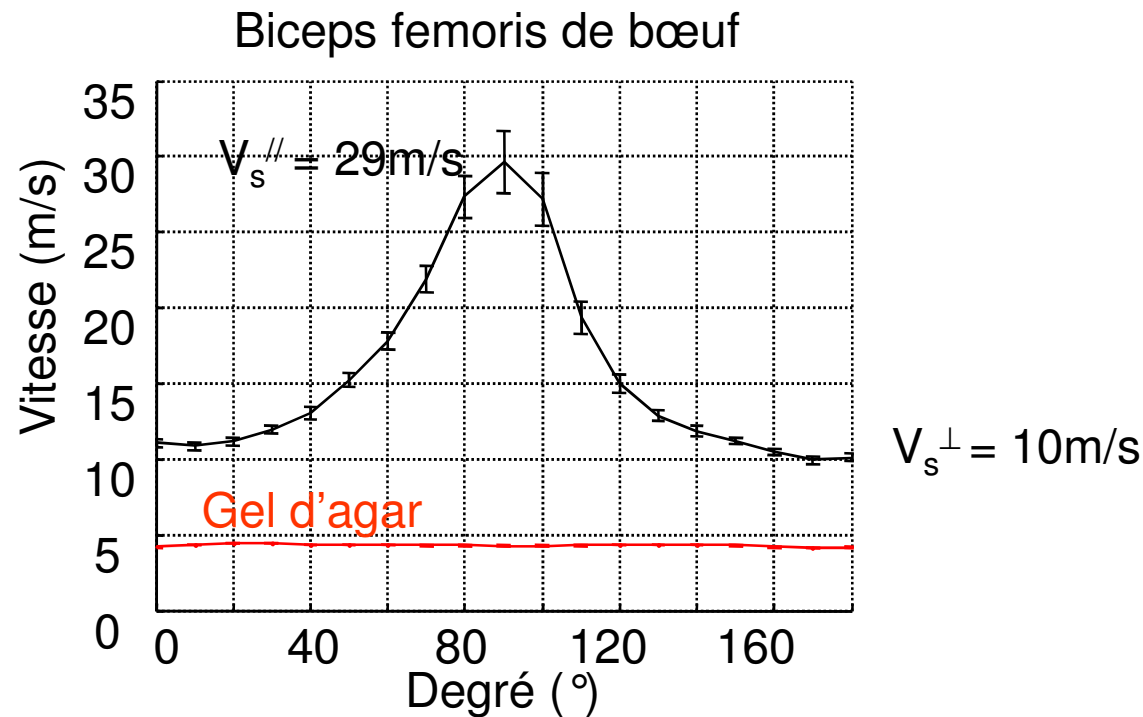
Modèle rhéologique simple



Modèle simple : le solide de Voigt

S.Catheline, J.-L. Gennisson, G. Delon, R. Sinkus, M. Fink, S. Abouelkaram, J. Culjoli
Measurement of viscoelastic properties of soft solid using transient elastography
J. Acoust. Soc. Am. **116** (6), pp 3734-3741, 2004

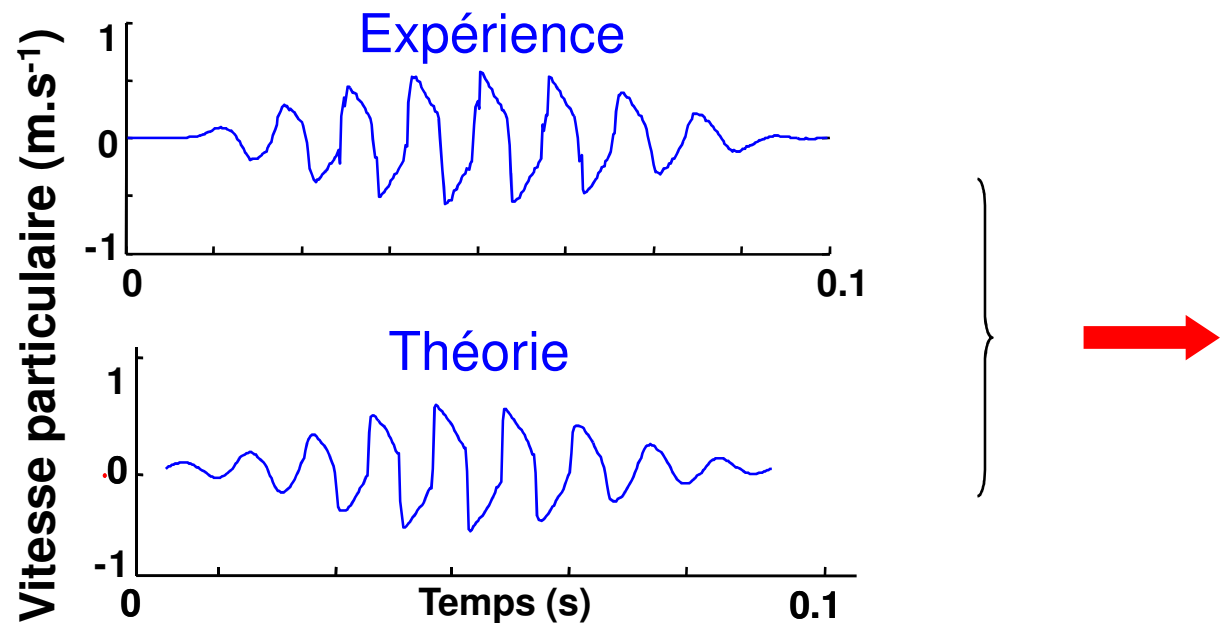
Anisotropie



Coefficients élastiques correspondant : $c_{44} = 875 \text{ kPa}$
 $c_{66} = 100 \text{ kPa}$

J-L. Gennisson, S. Catheline, S. Chaffaï and M. Fink, "Transient elastography in anisotropic medium: Application to the measurement of slow and fast shear waves velocities in muscles.", J. Acoust. Soc. Am. **114** (1), pp 536-541, 2003.

Résultats quantitatifs



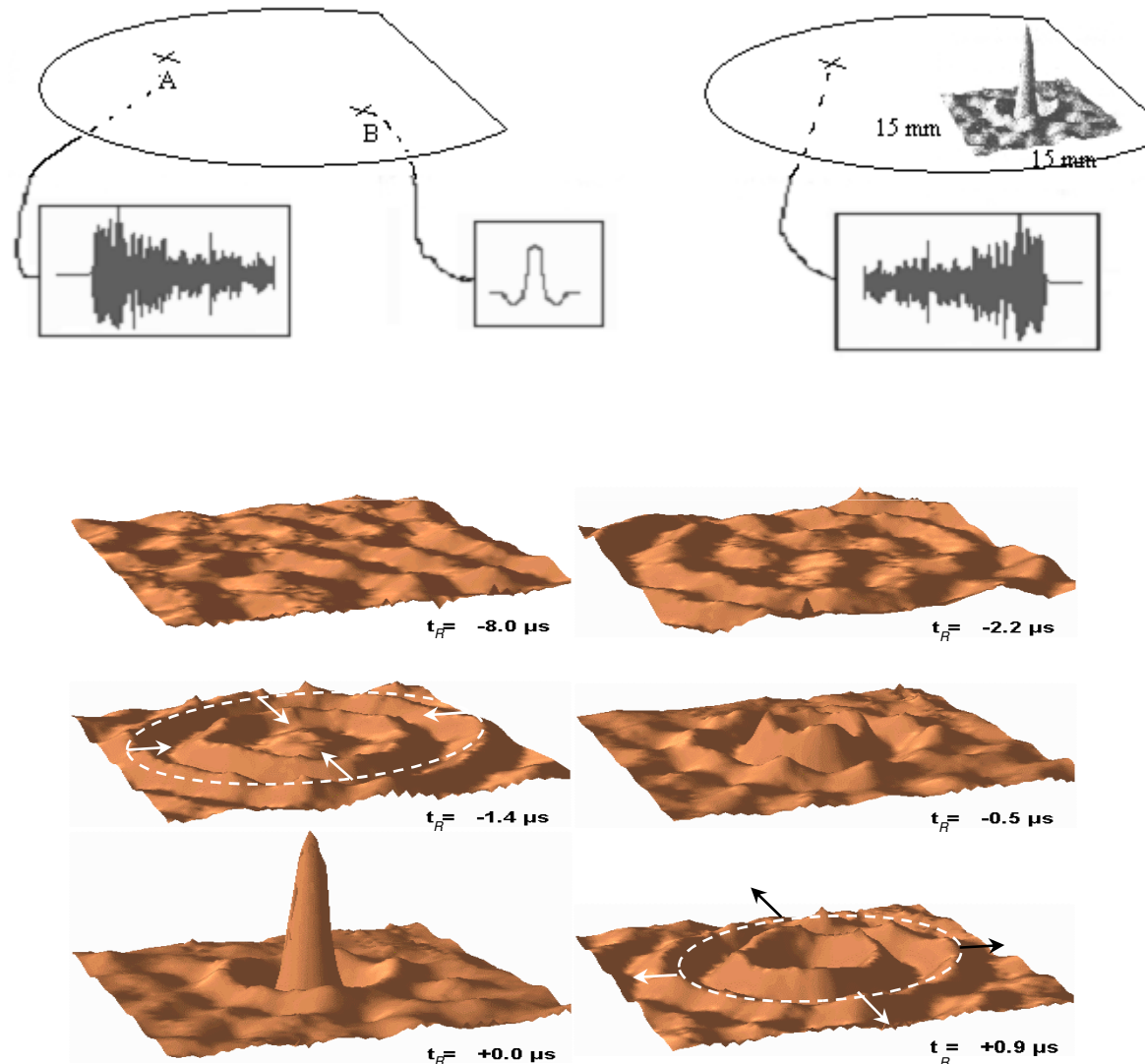
$\mu = 2.5 \text{ kPa}$
 $\mu_2 = 0.4 \text{ Pa.s}$
 $\beta_T = 5.1 \text{ kPa}$

$$\beta_T = \mu + \frac{A}{2} + \frac{\lambda}{2} + B + G$$

Coef. Linéaire ~ Coef. non linéaire

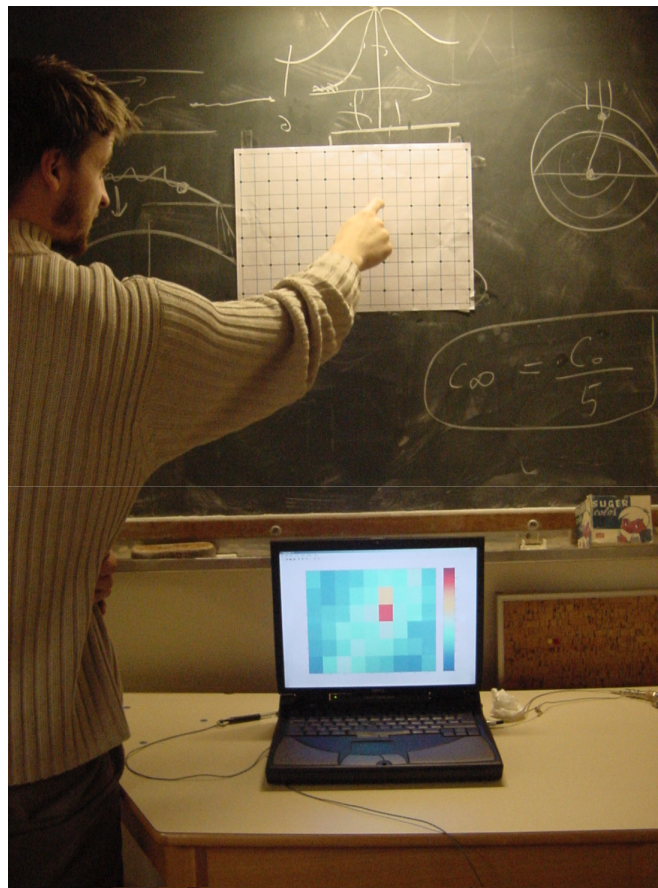
S. Catheline, J-L. Gennisson, M. Tanter and M. Fink, "Observation of Shock Transverse Waves in Elastic Media"
Physical Review Letters **91** (16), pp 43011-43014, 2003

Time reversal in reverberating cavity



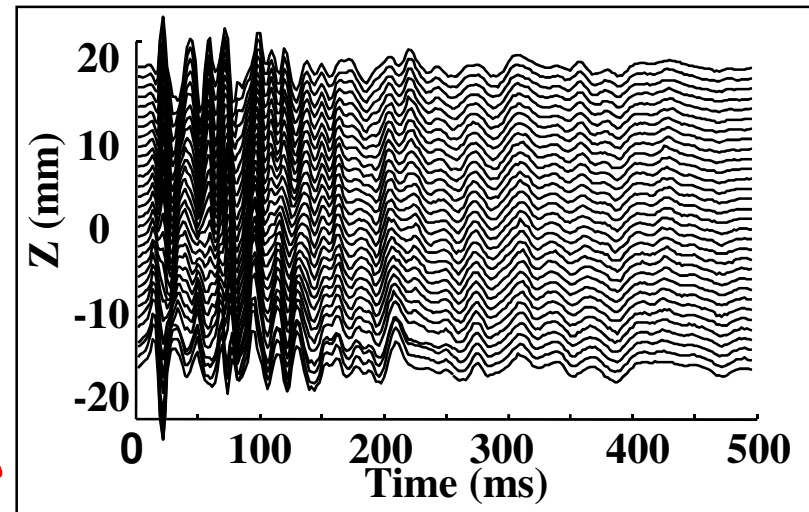
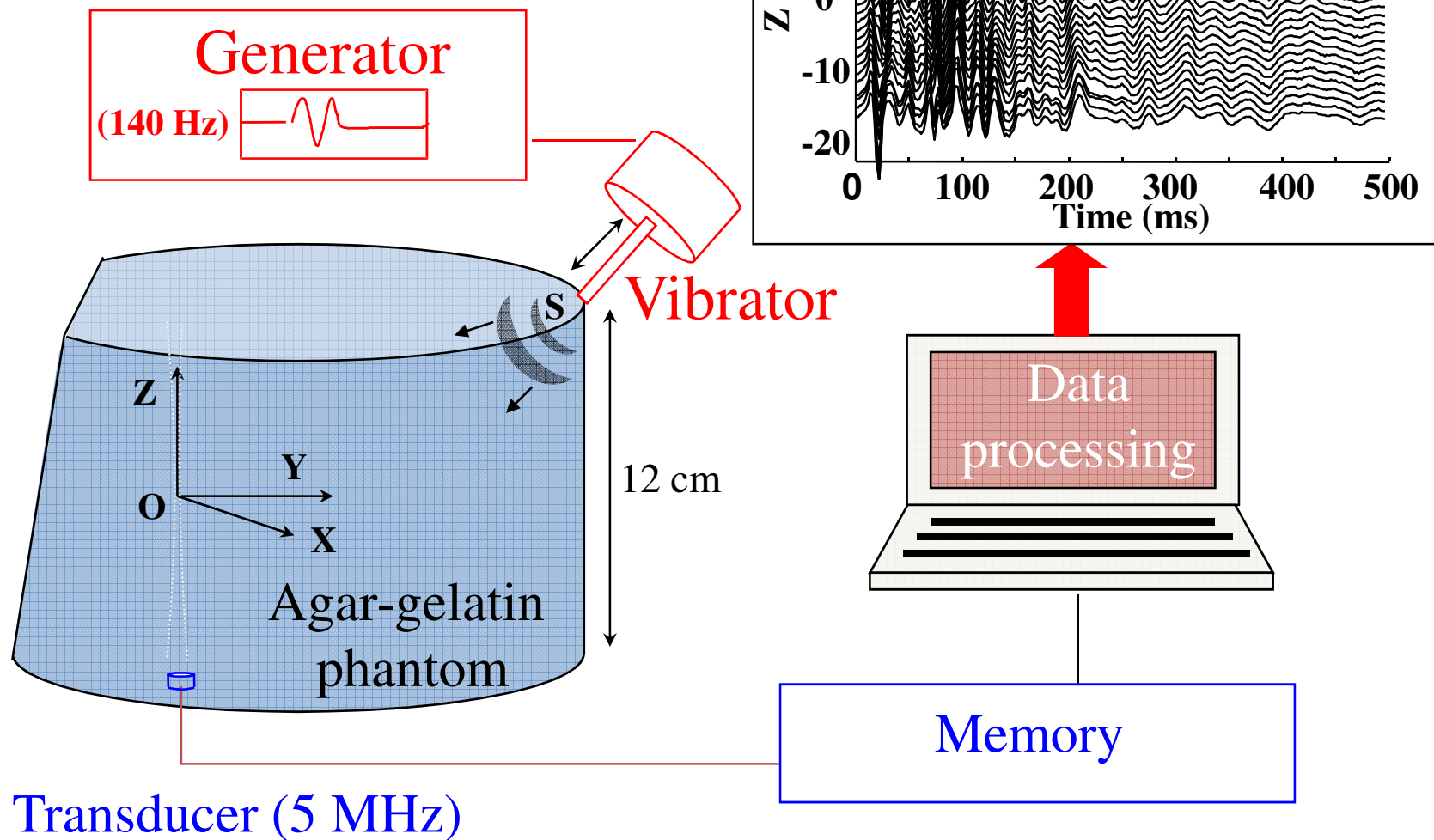
C.Draeger, M. Fink, *Phys. Rev. Letter* 79, 407 (1997).

Time reversal interactivity

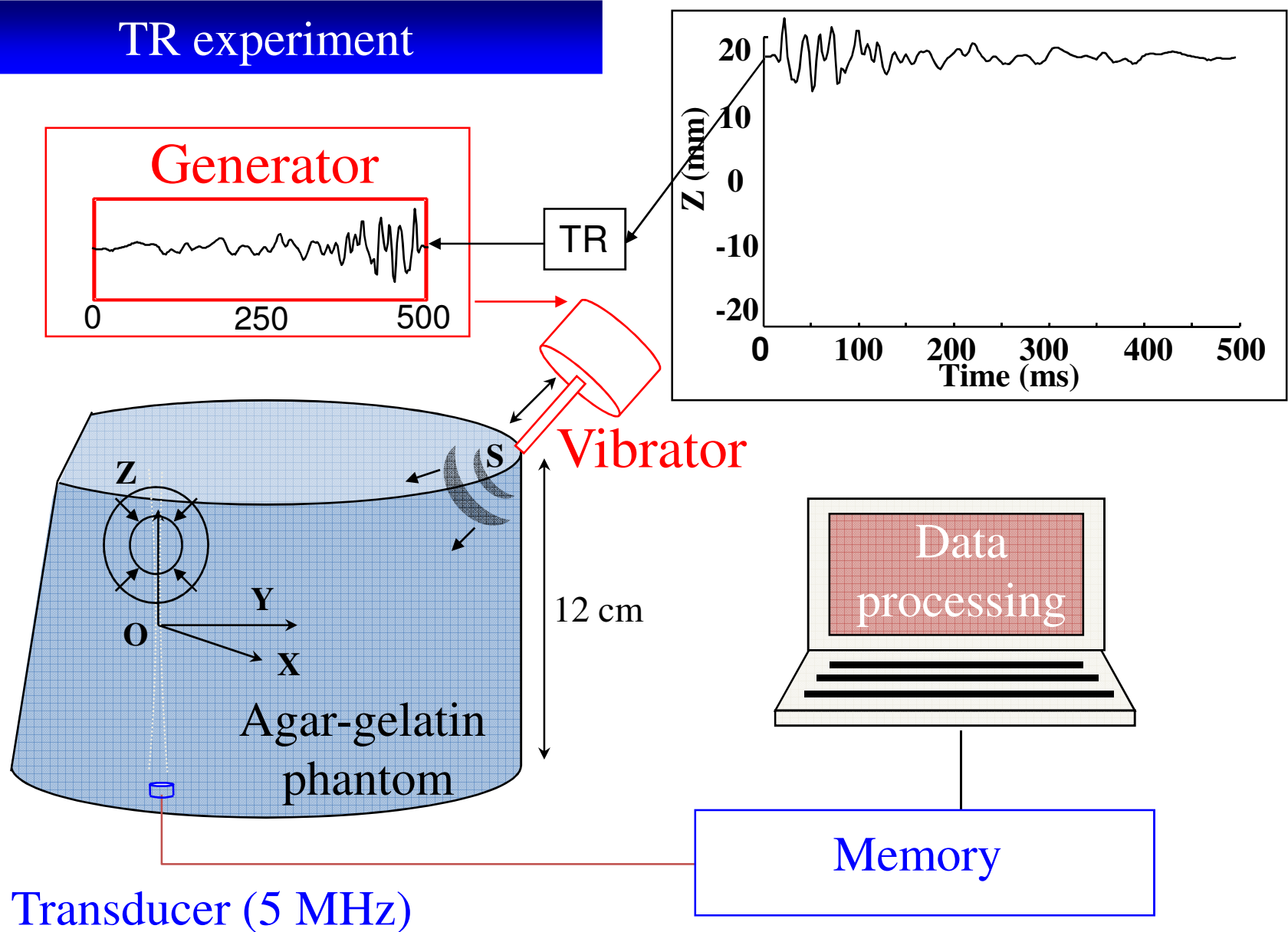


R. K. Ing, N. Quieffin, S. Catheline, M. Fink, *Appl. Phys. Letter*, 87, 204104 (2005).

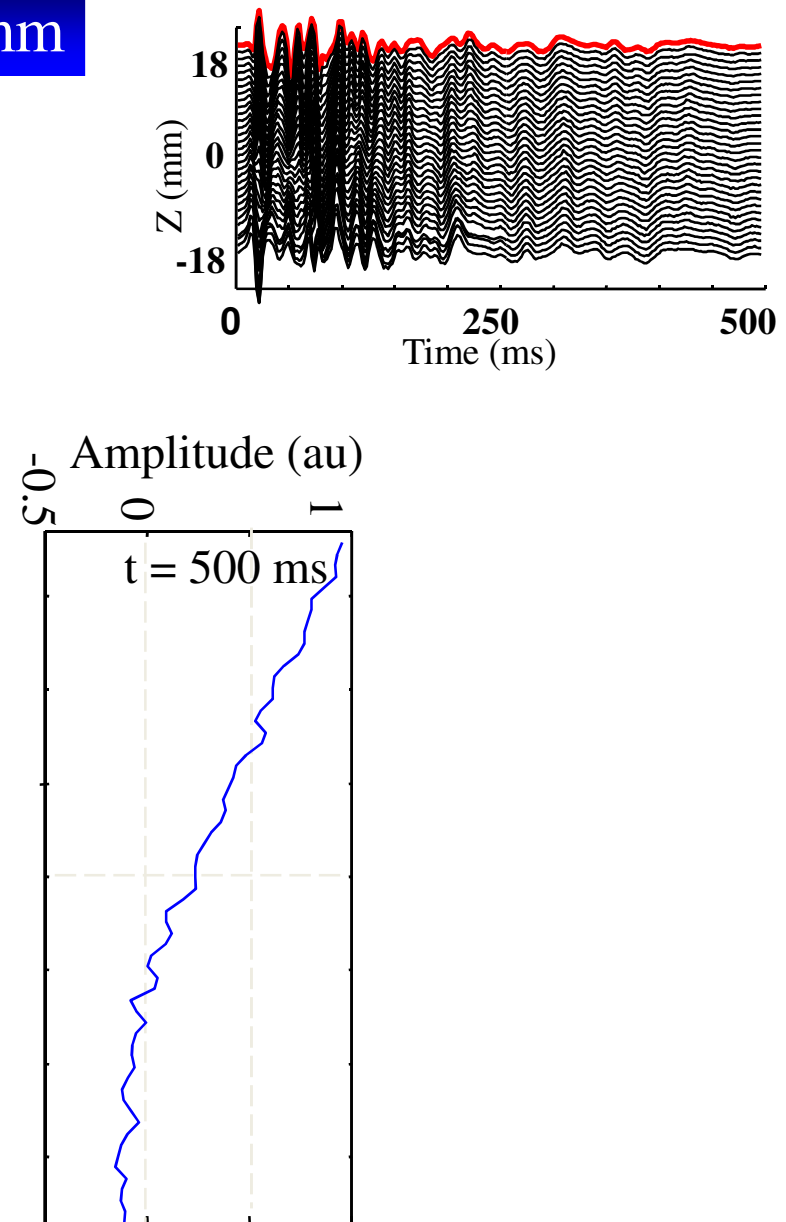
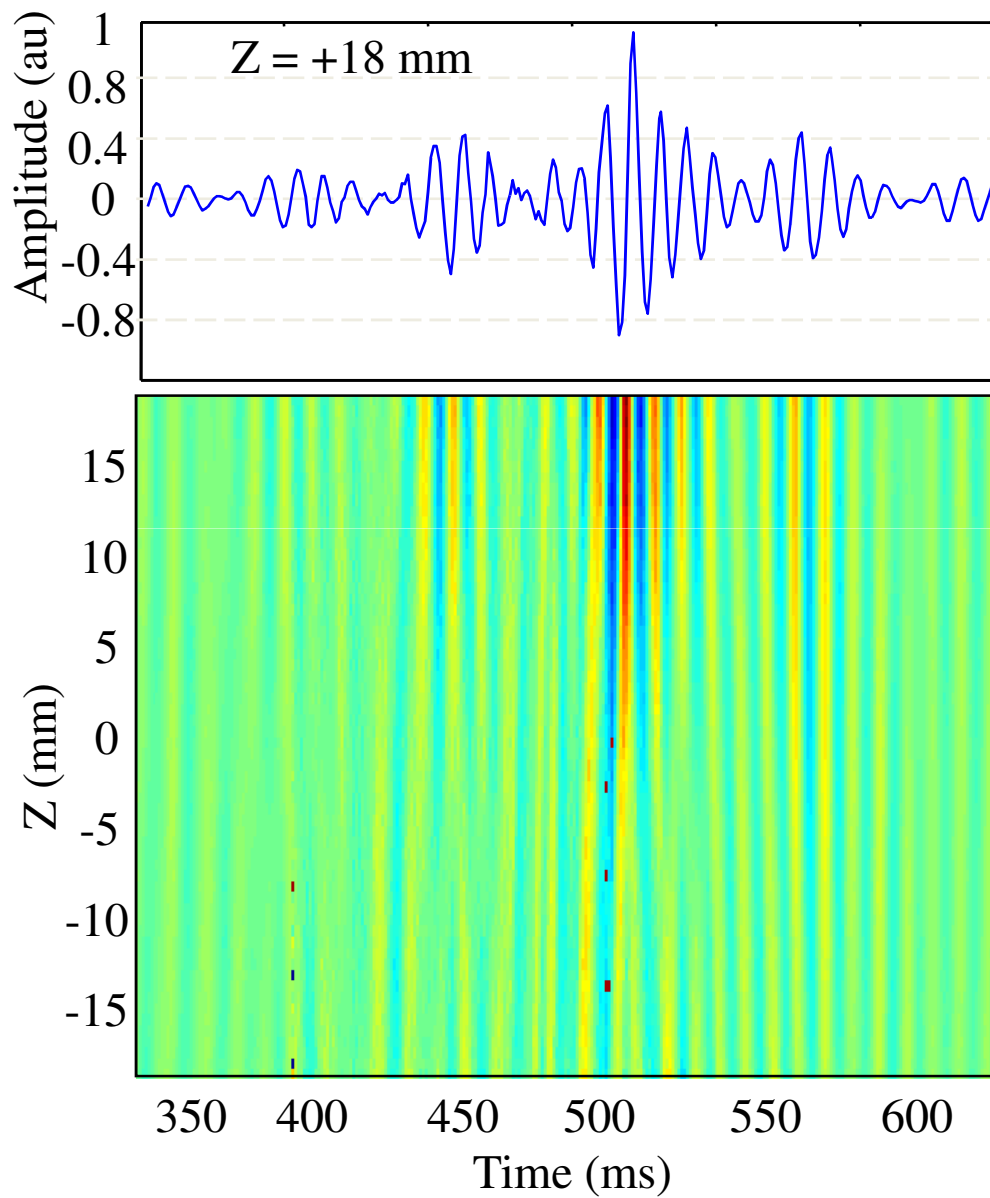
Experimental Set up



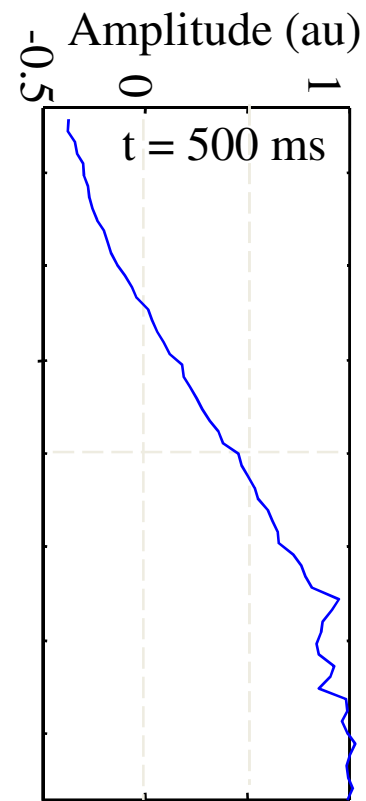
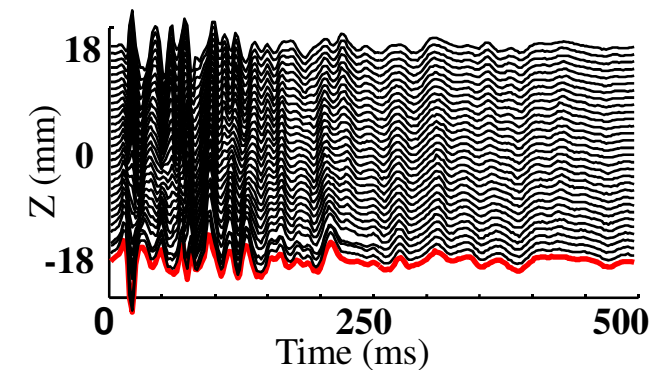
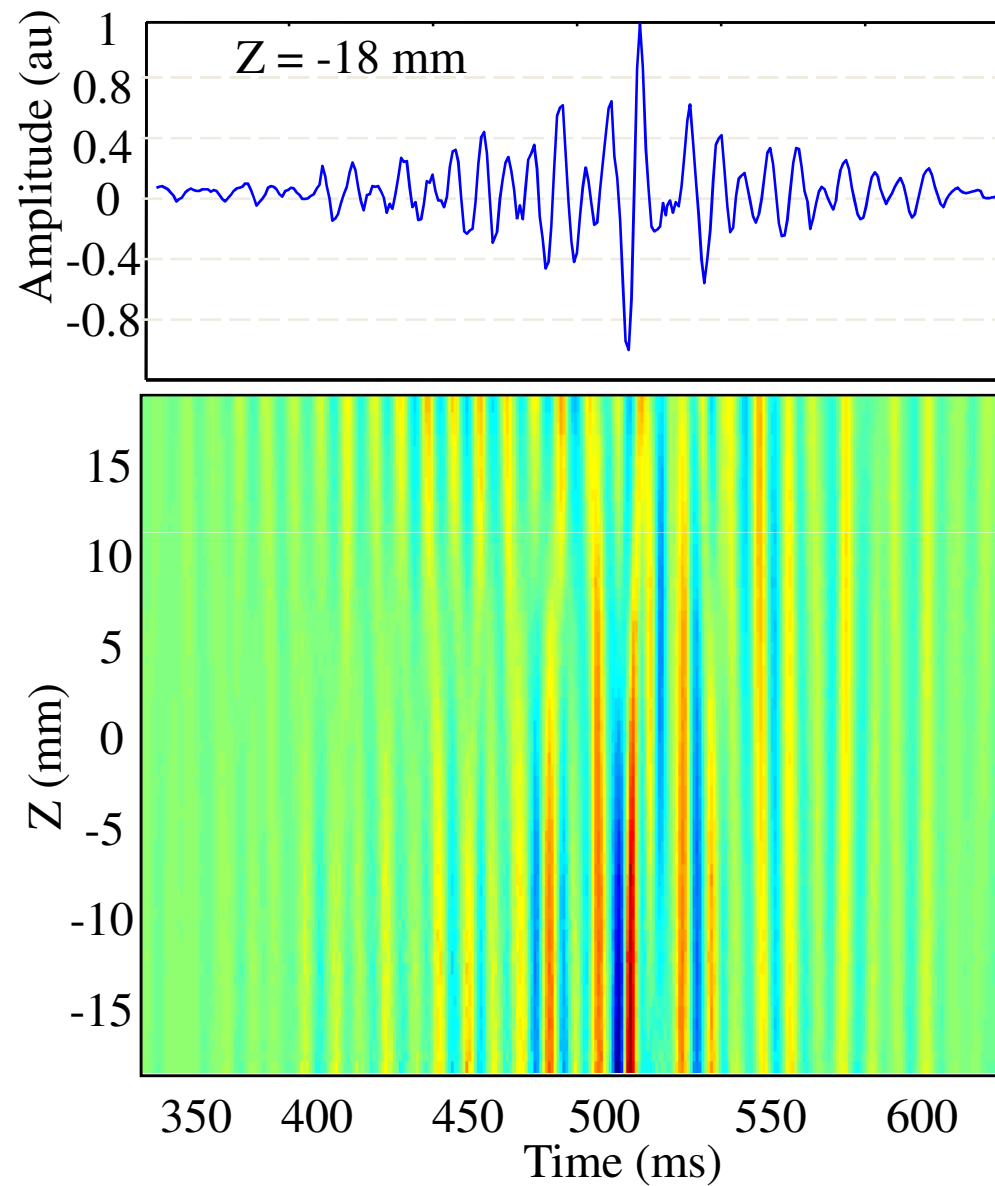
TR experiment



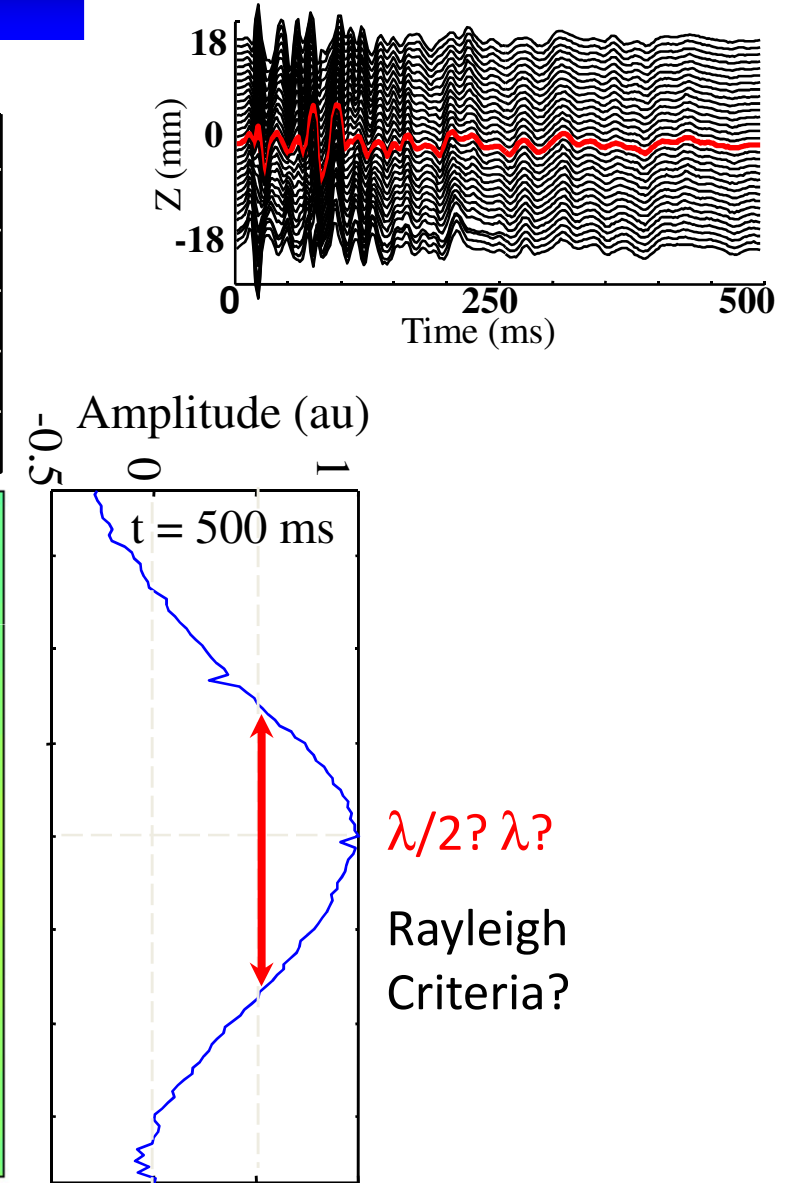
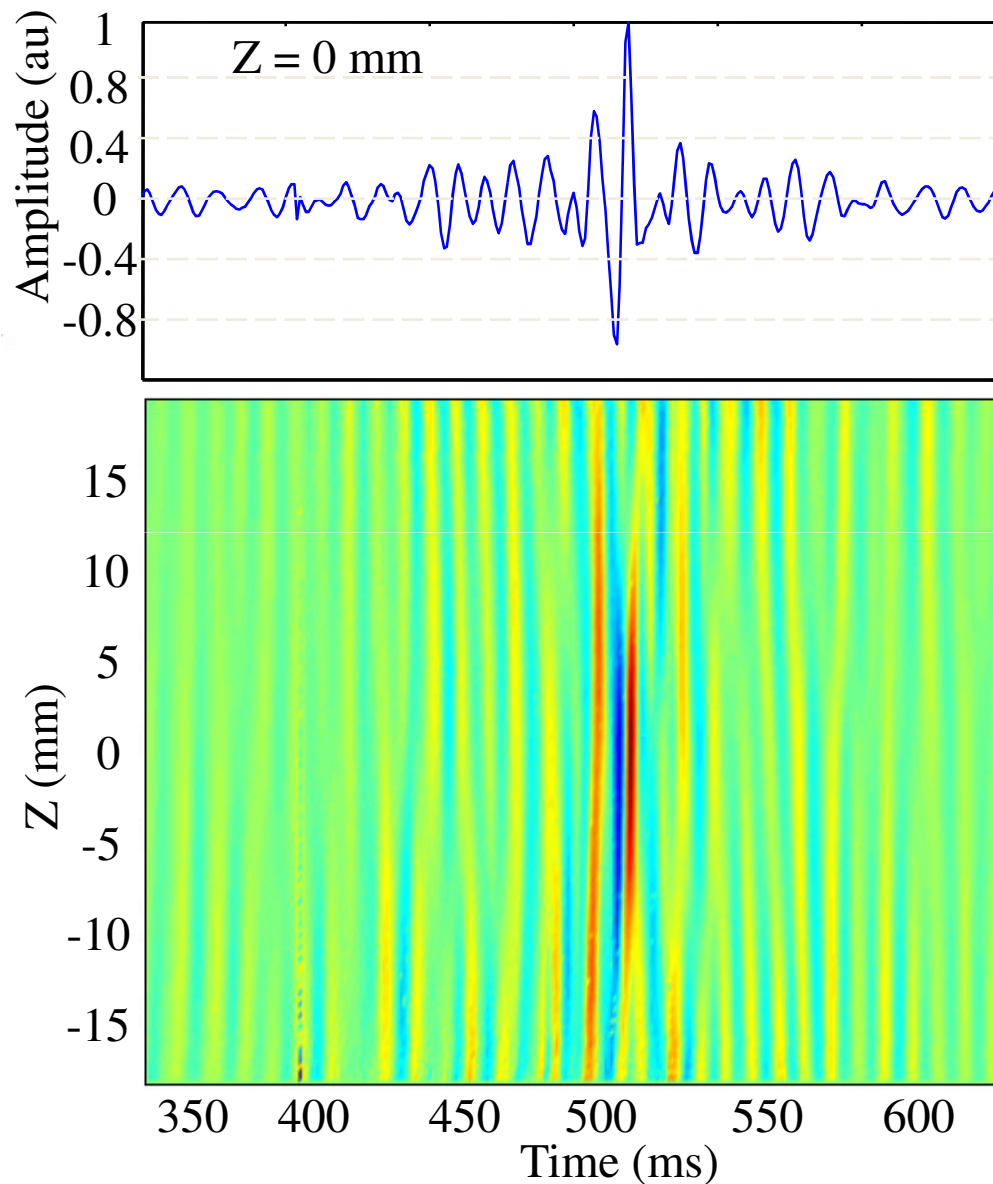
Spatio temporal refocusing on +18 mm

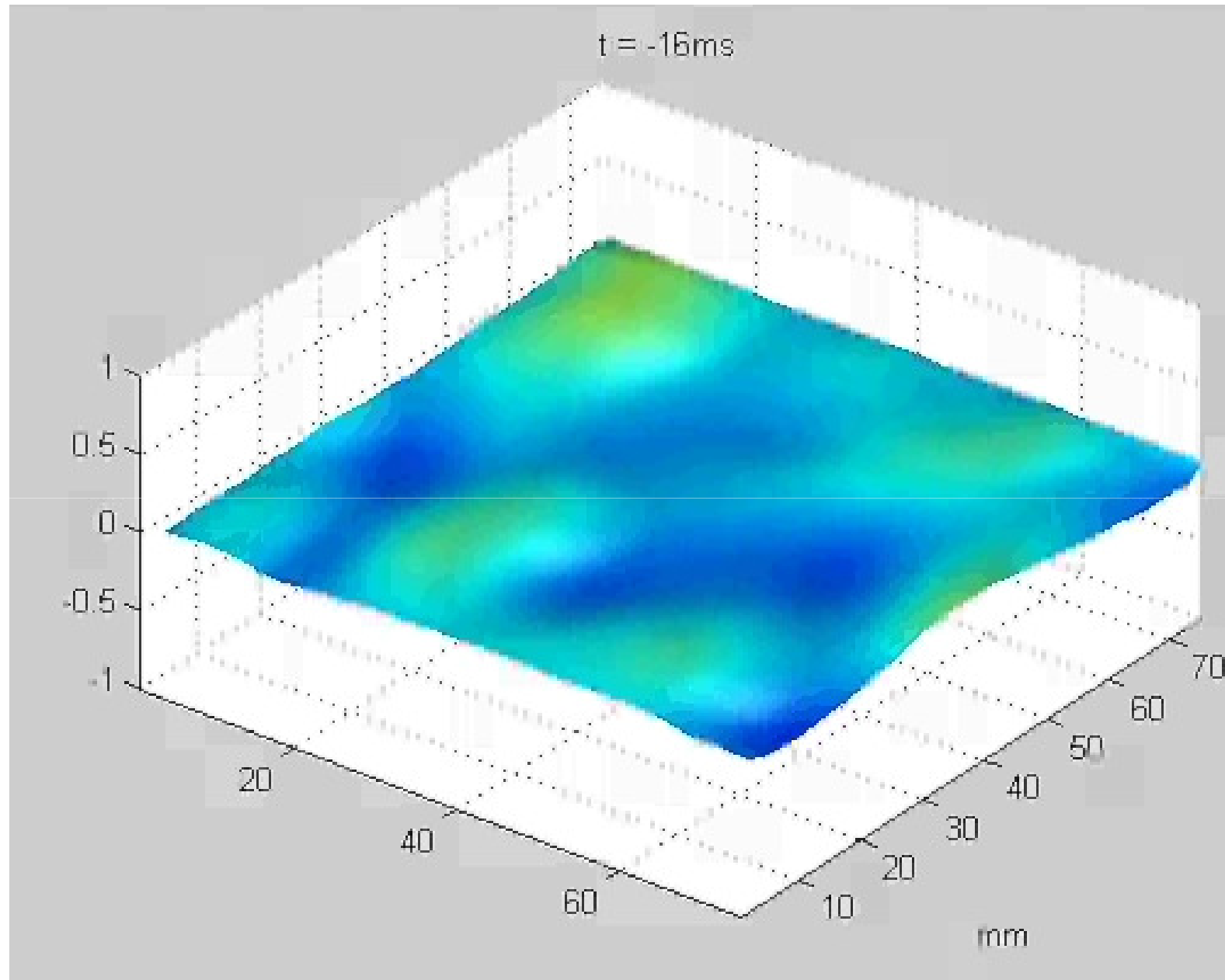


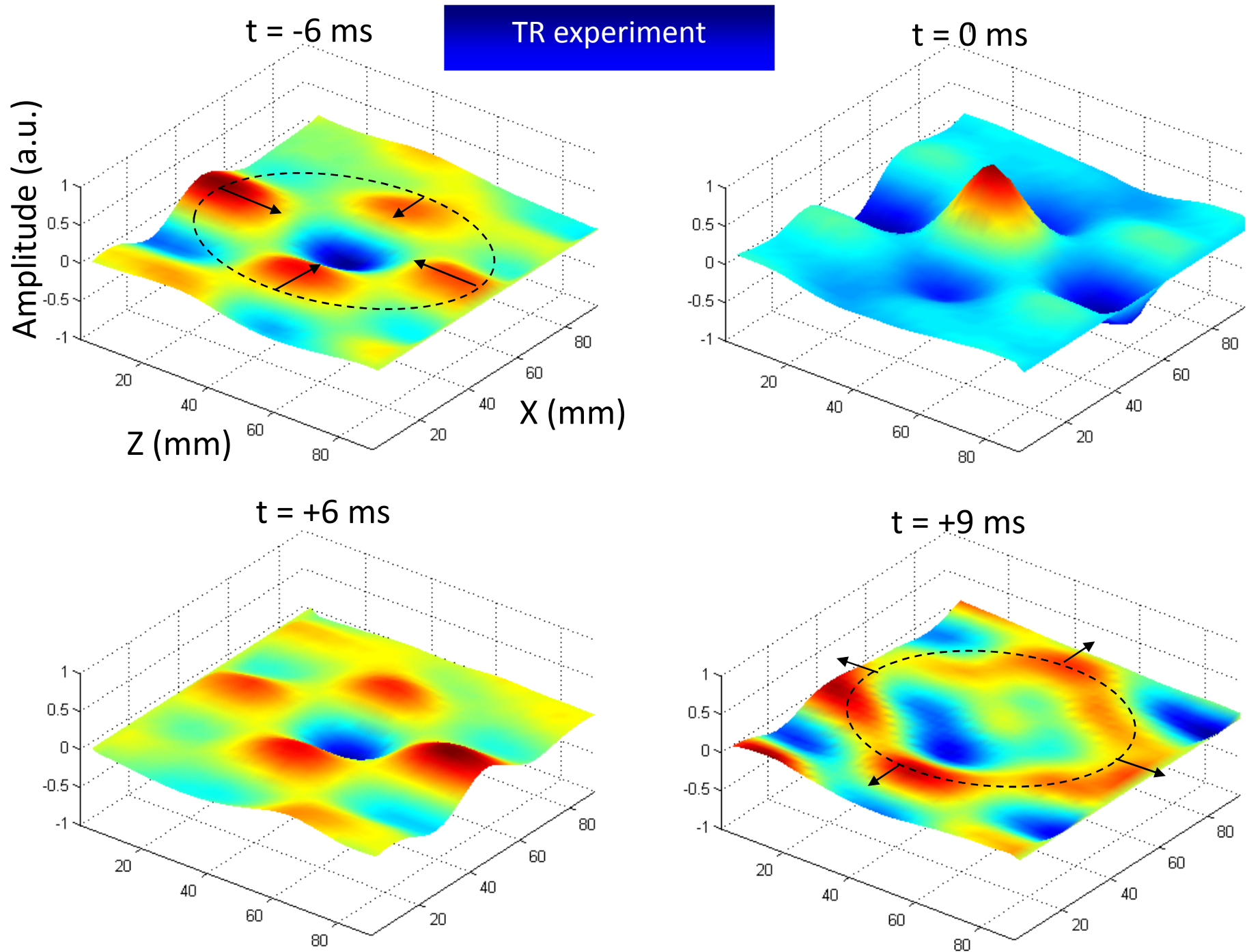
Spatio temporal refocusing on -18 mm

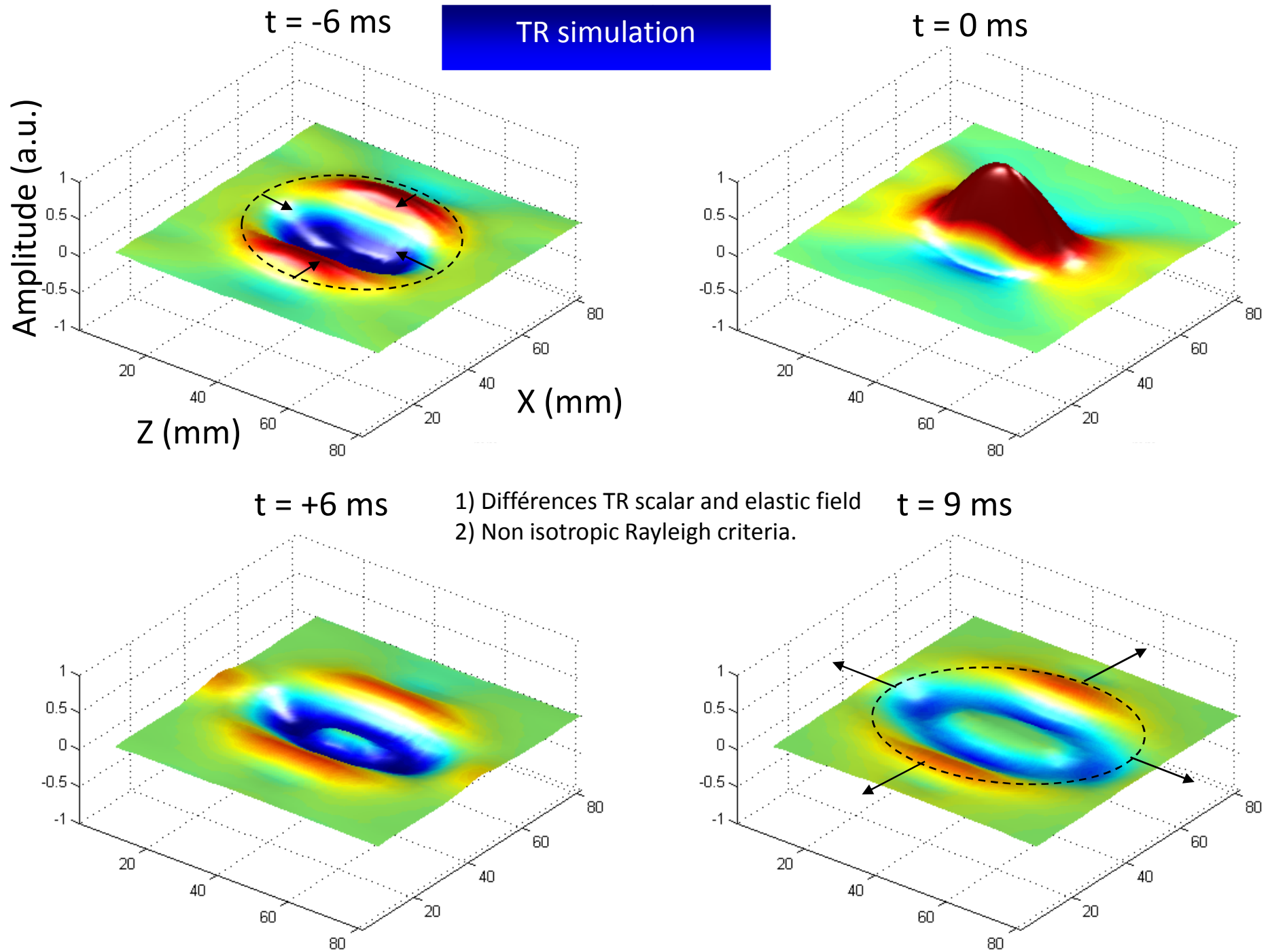


Spatio temporal refocusing on 0

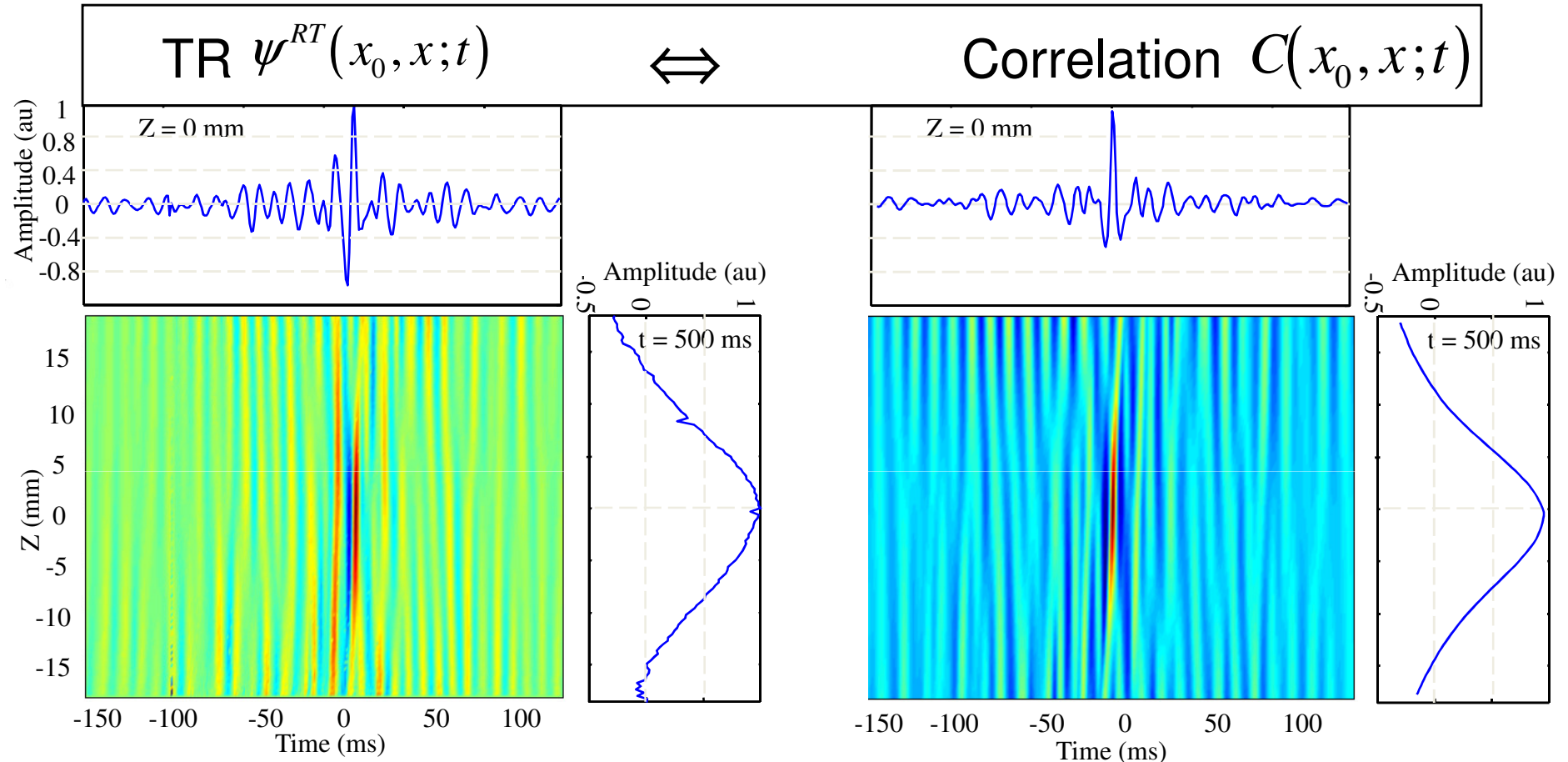








Correlation Map



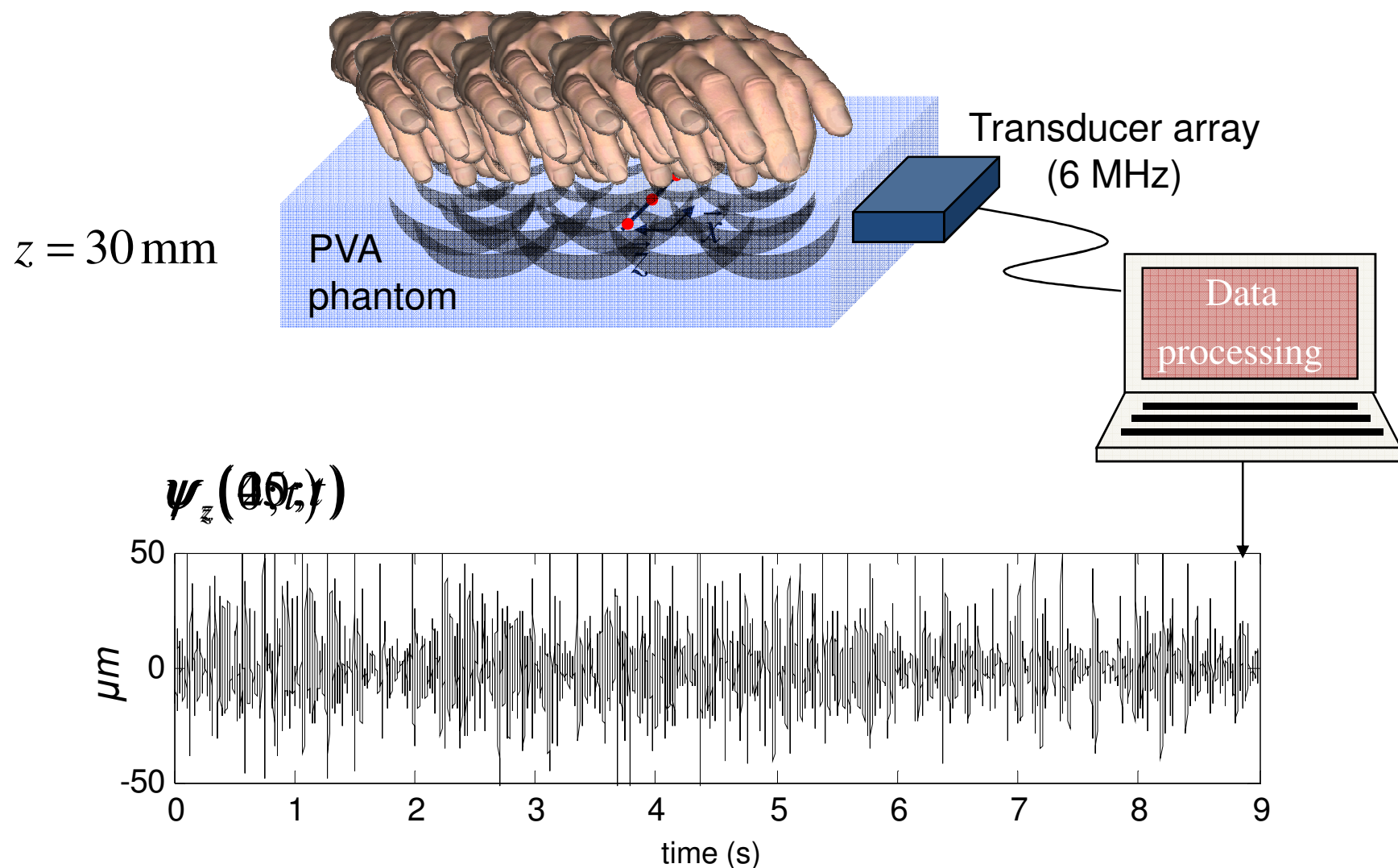
$$\psi_z^{RT}(x_0, x; t) = [e(T-t) \otimes h_z(s, x_0; T-t)] \otimes h_z(s, x; t)$$

$$C(x_0, x; t) = [e(T-t) \otimes h_z(s, x_0; T-t)] \otimes [e(t) \otimes h_z(s, x; t)]$$

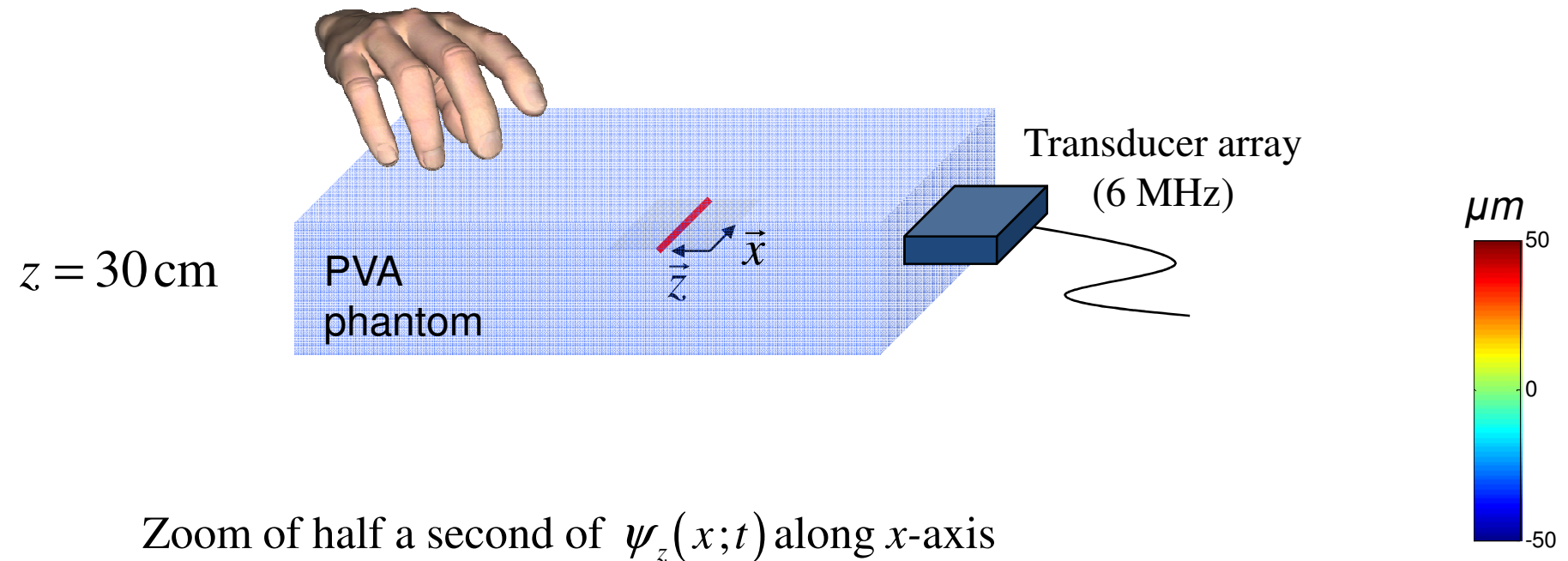
$$e(t) = \delta(t) \Rightarrow \boxed{\psi^{RT}(x_0, x; t) = C(x_0, x; t)}$$

No need of
programmable
device

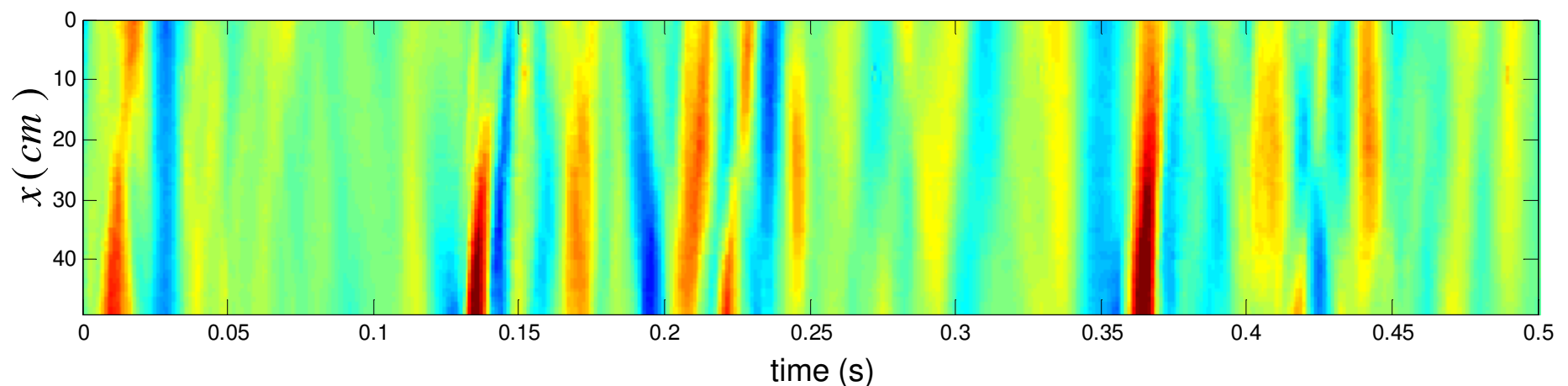
Noise Correlation : Experimental Set up



Displacement field along the x -axis

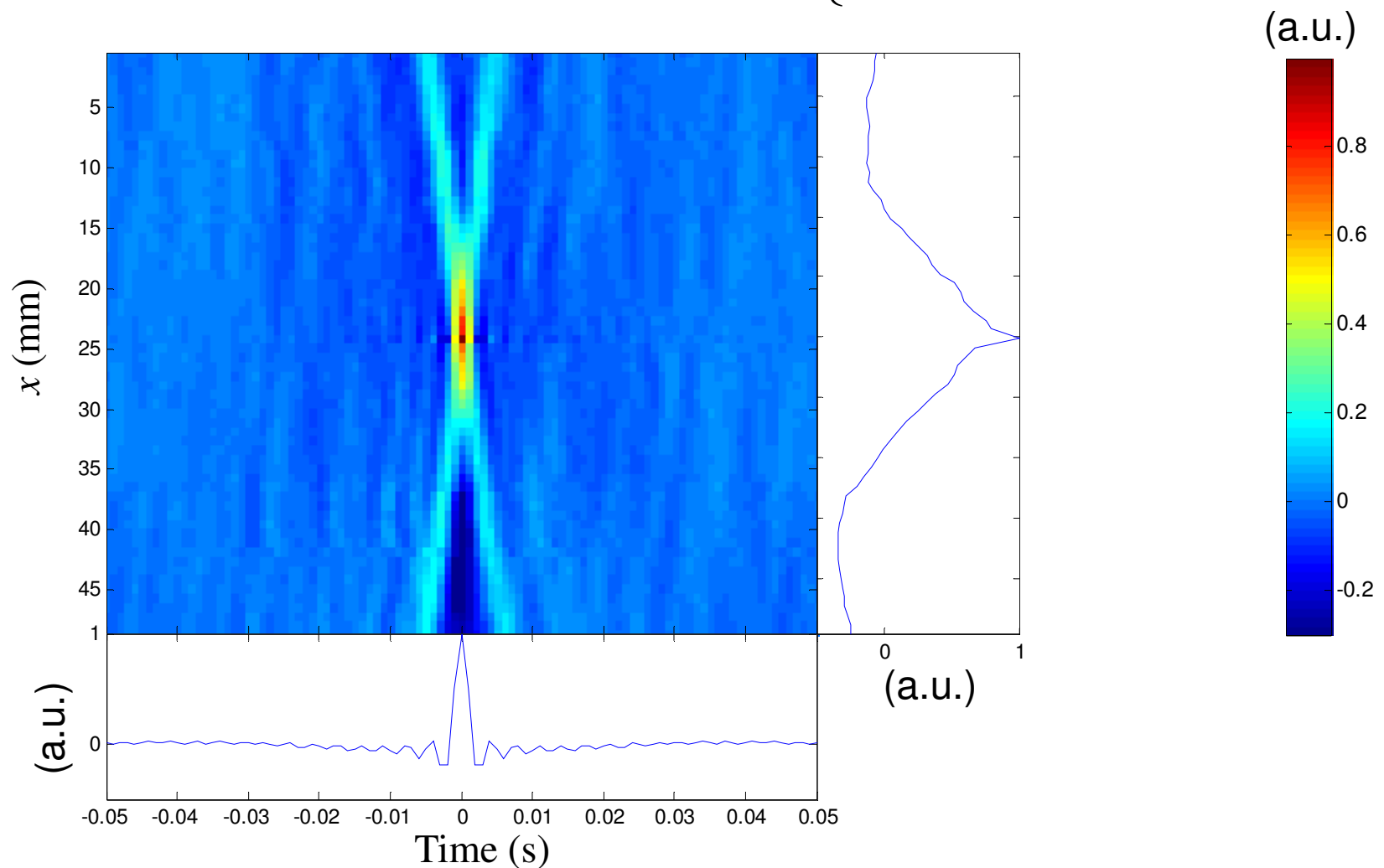


Zoom of half a second of $\psi_z(x; t)$ along x -axis

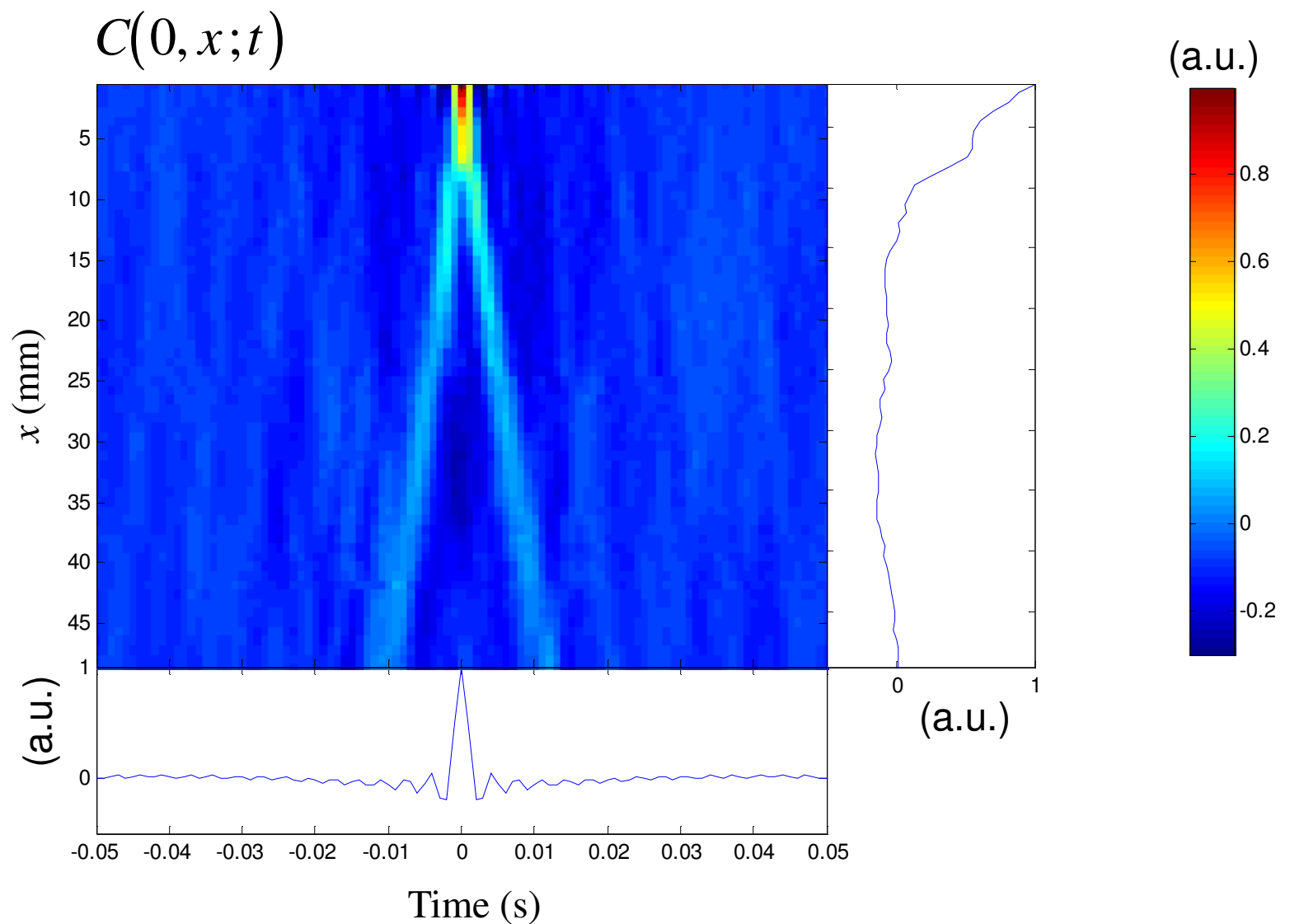


TR field from noise cross-correlation

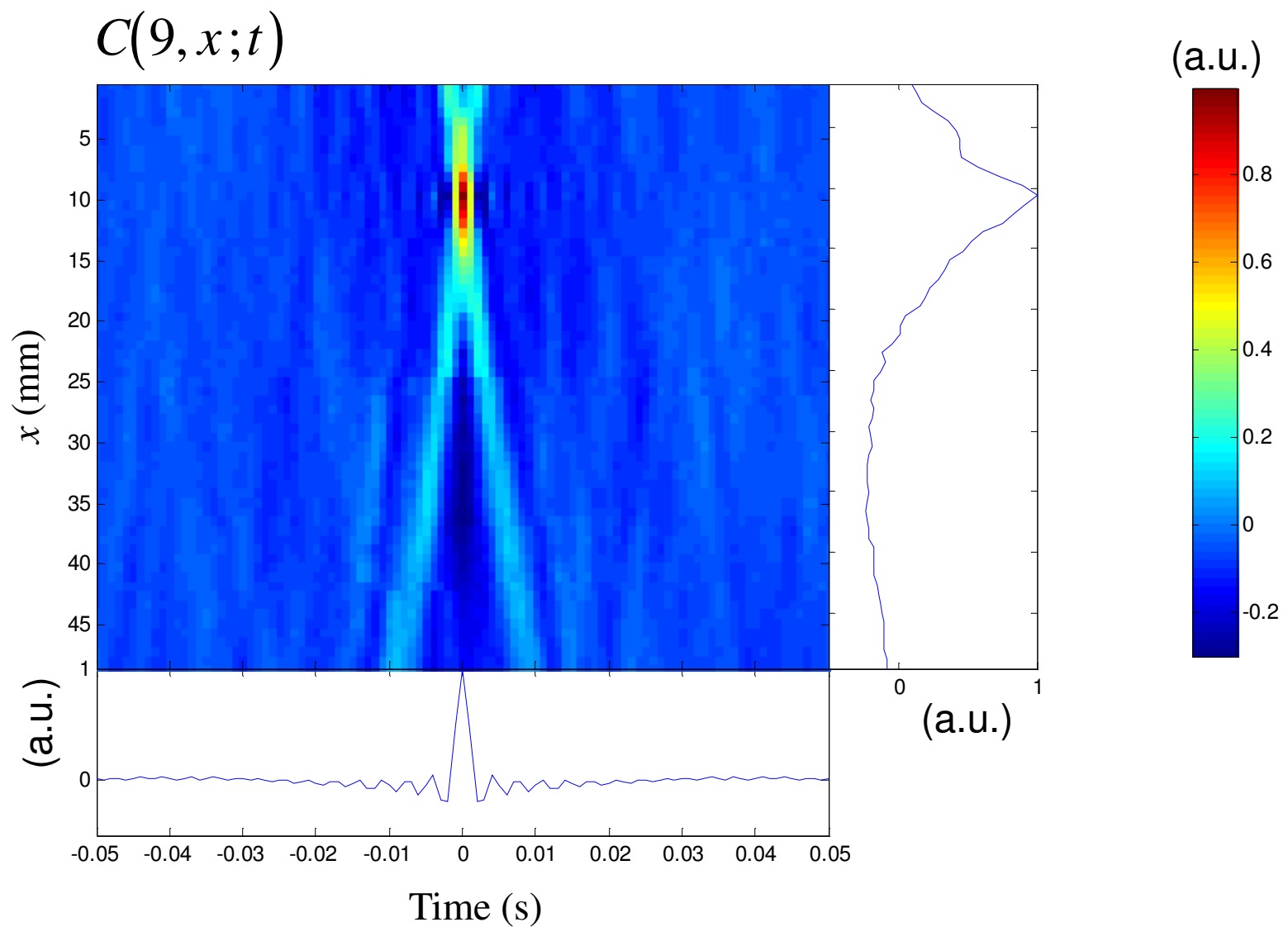
$$C(x_0, x; t) = \psi_z(x_0, T-t) \otimes \psi_z(x, t) \quad \begin{cases} x_0 = 24\text{mm} \\ x \in [0; 49] \end{cases}$$



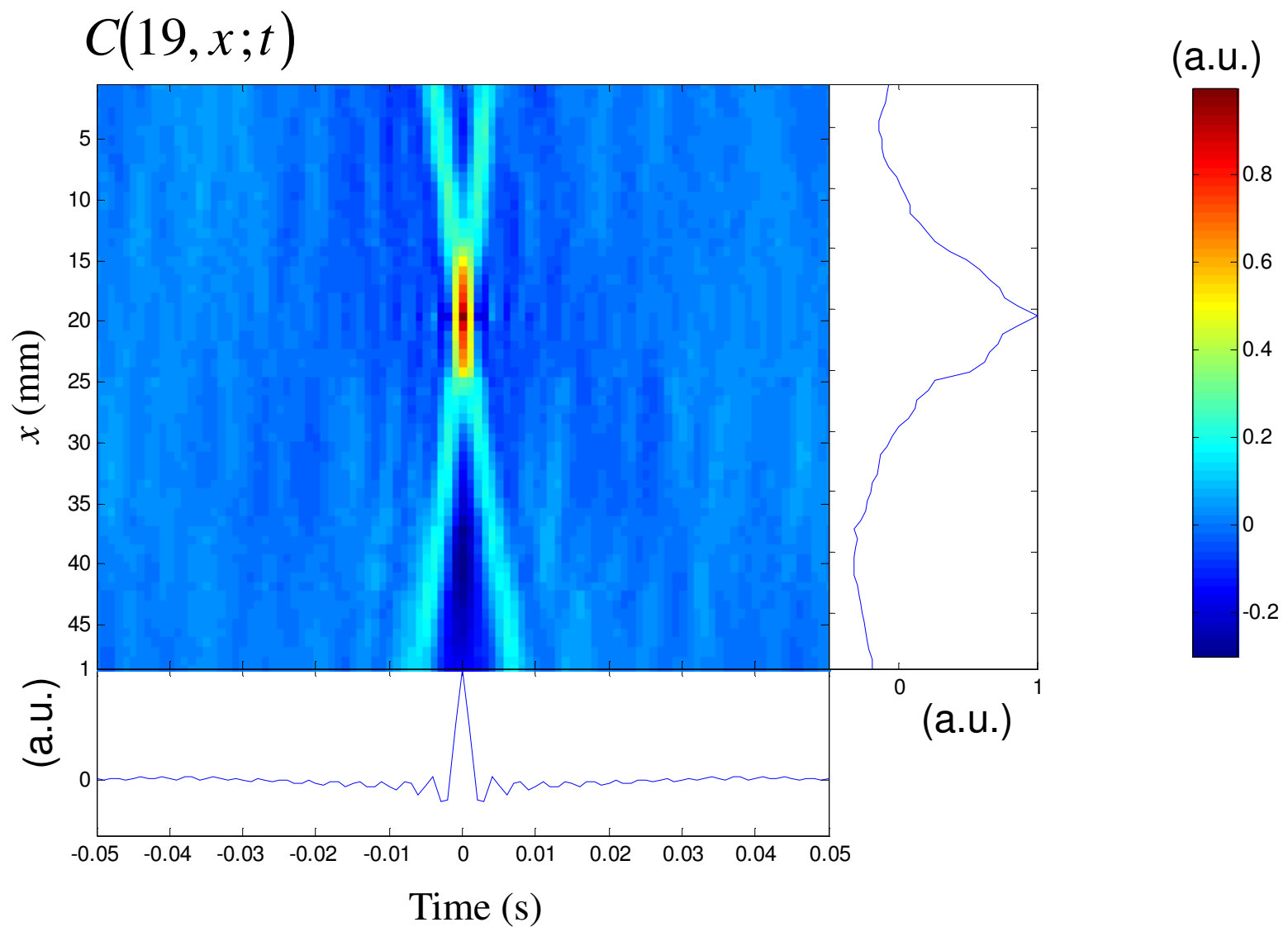
TR field from noise cross-correlation



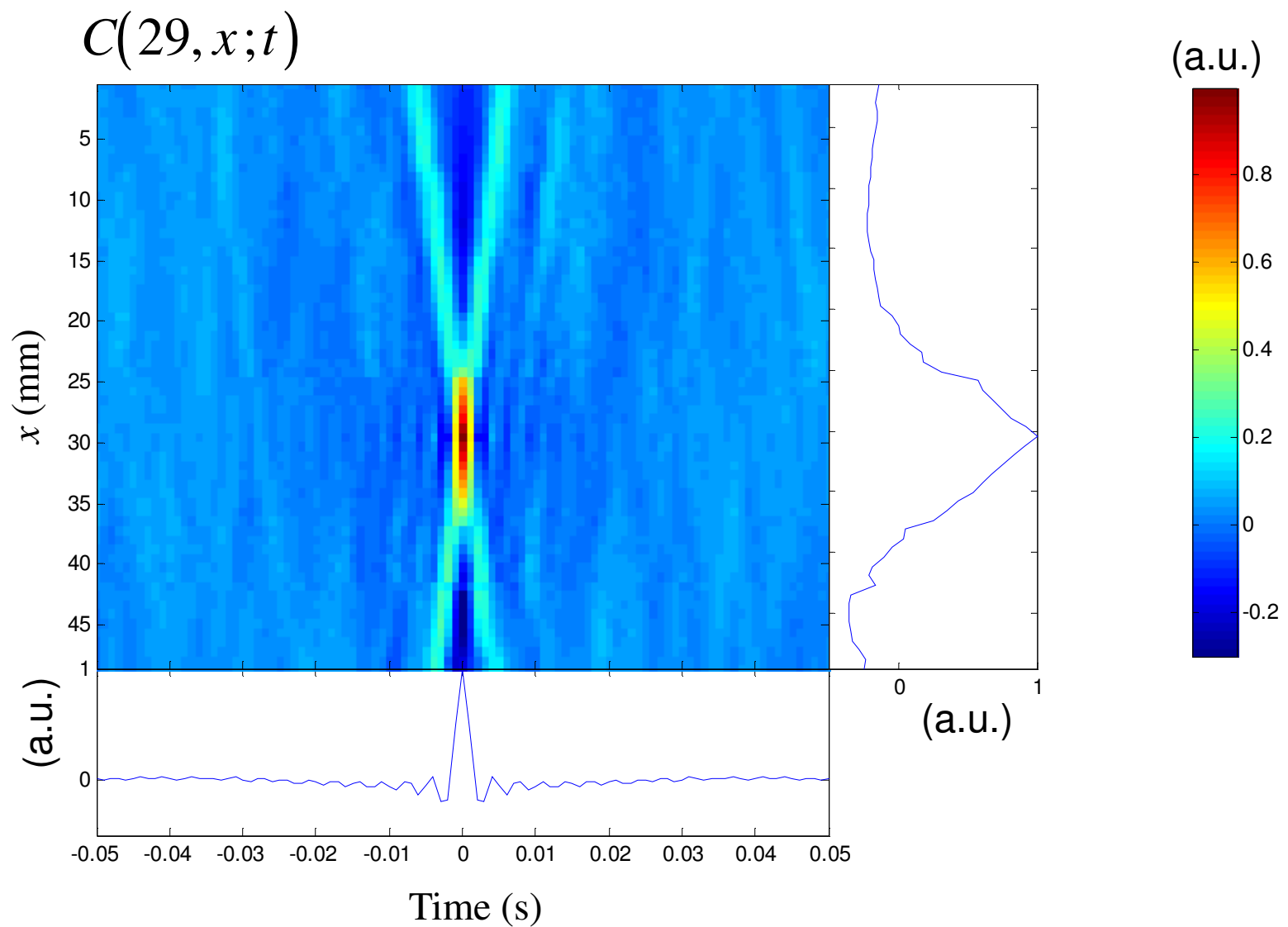
TR field from noise cross-correlation



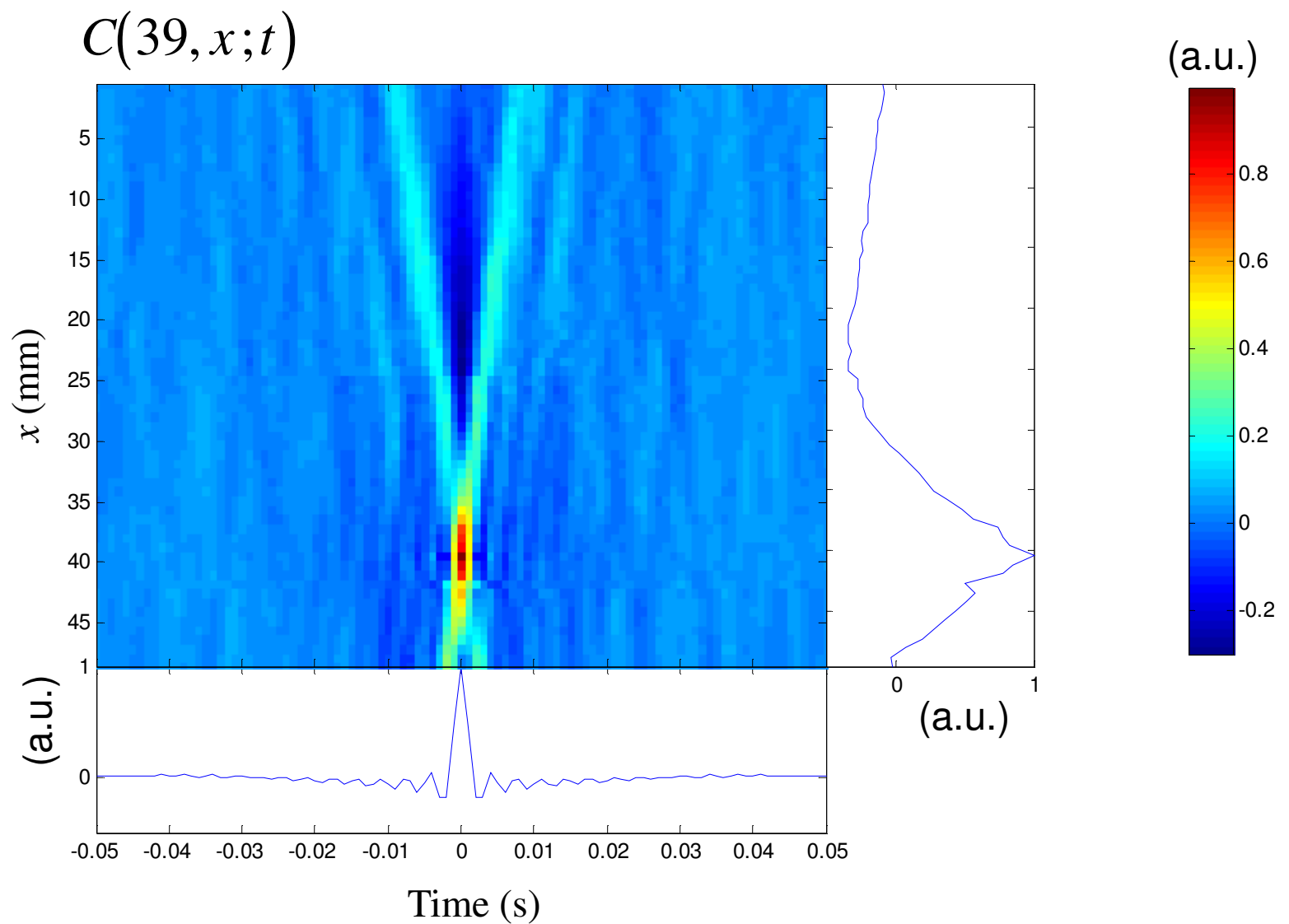
TR field from noise cross-correlation



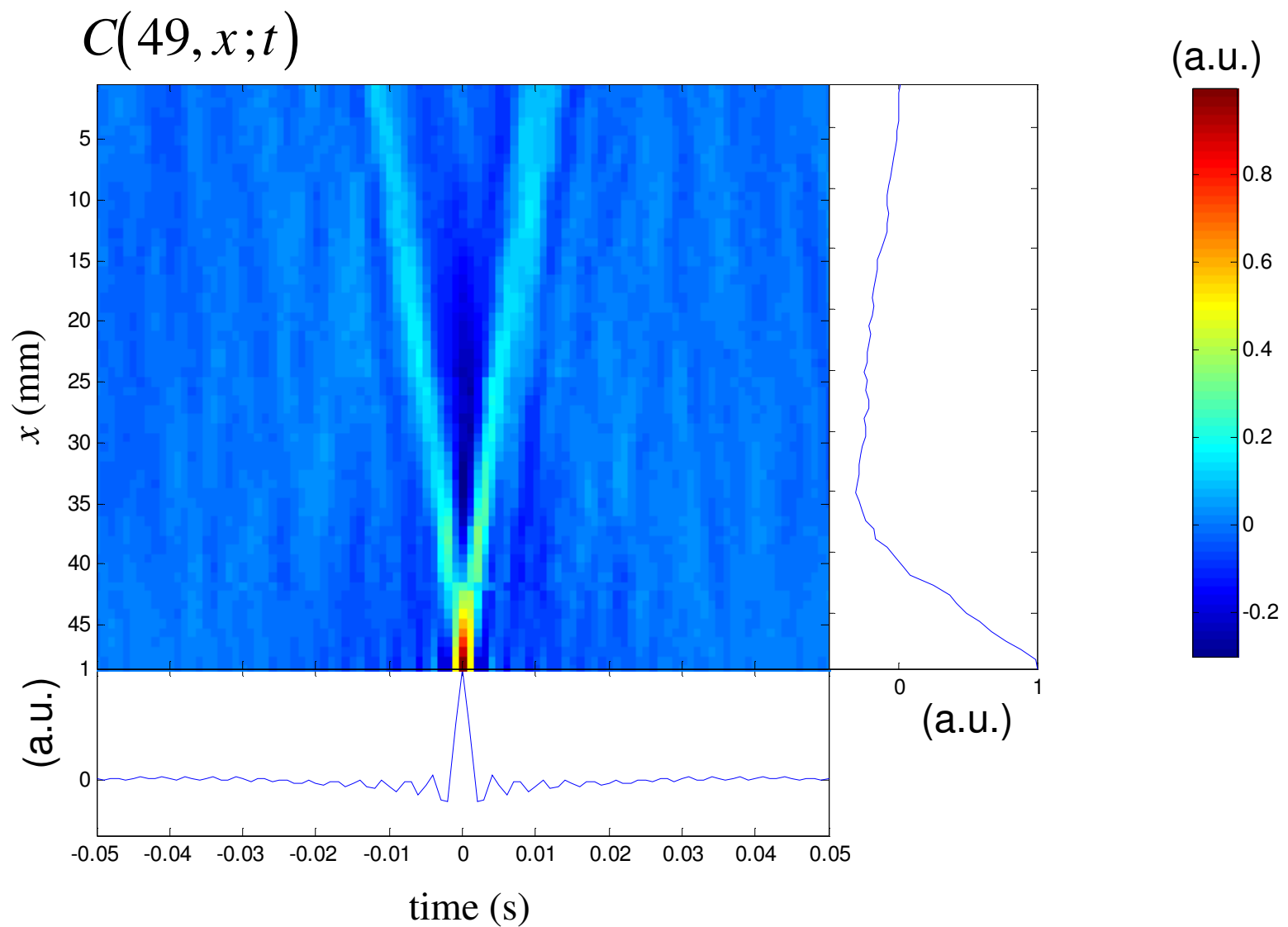
TR field from noise cross-correlation



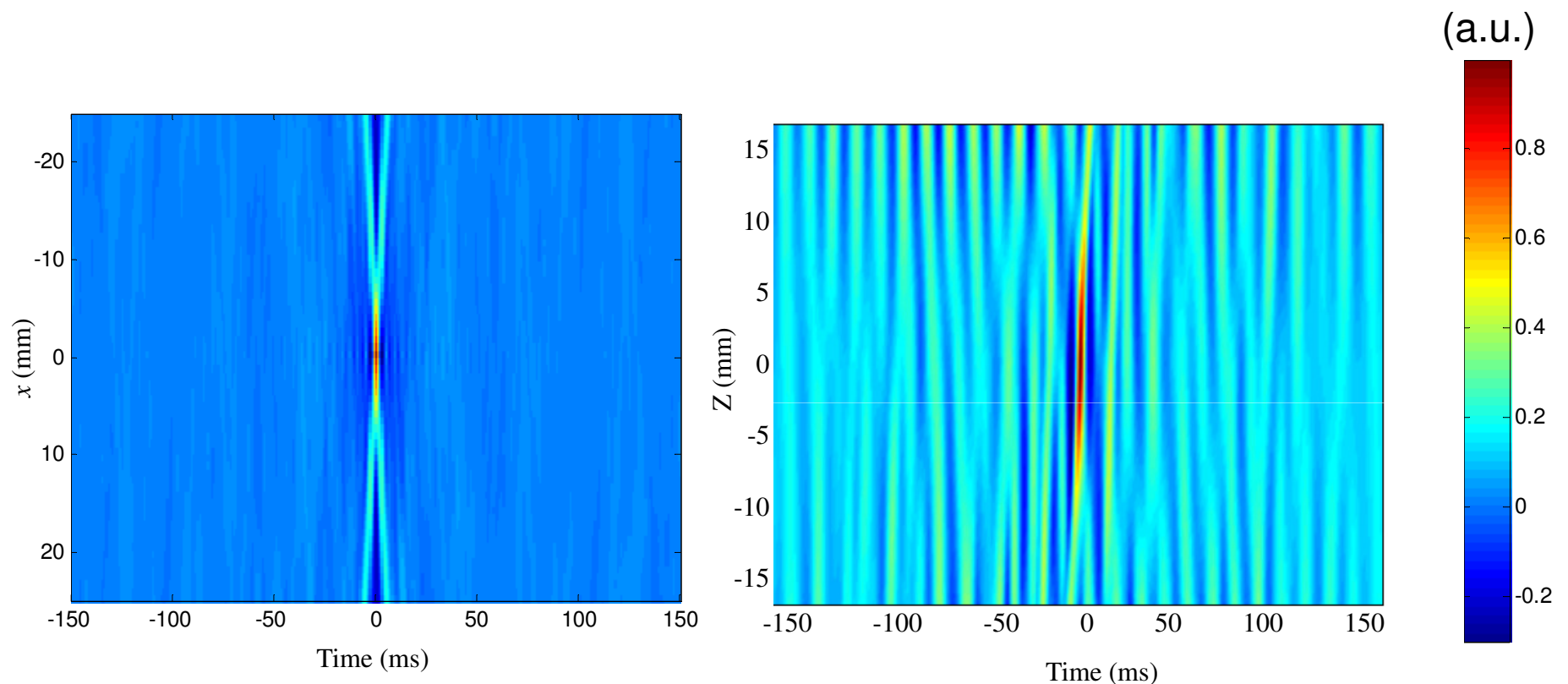
TR field from noise cross-correlation



TR field from noise cross-correlation

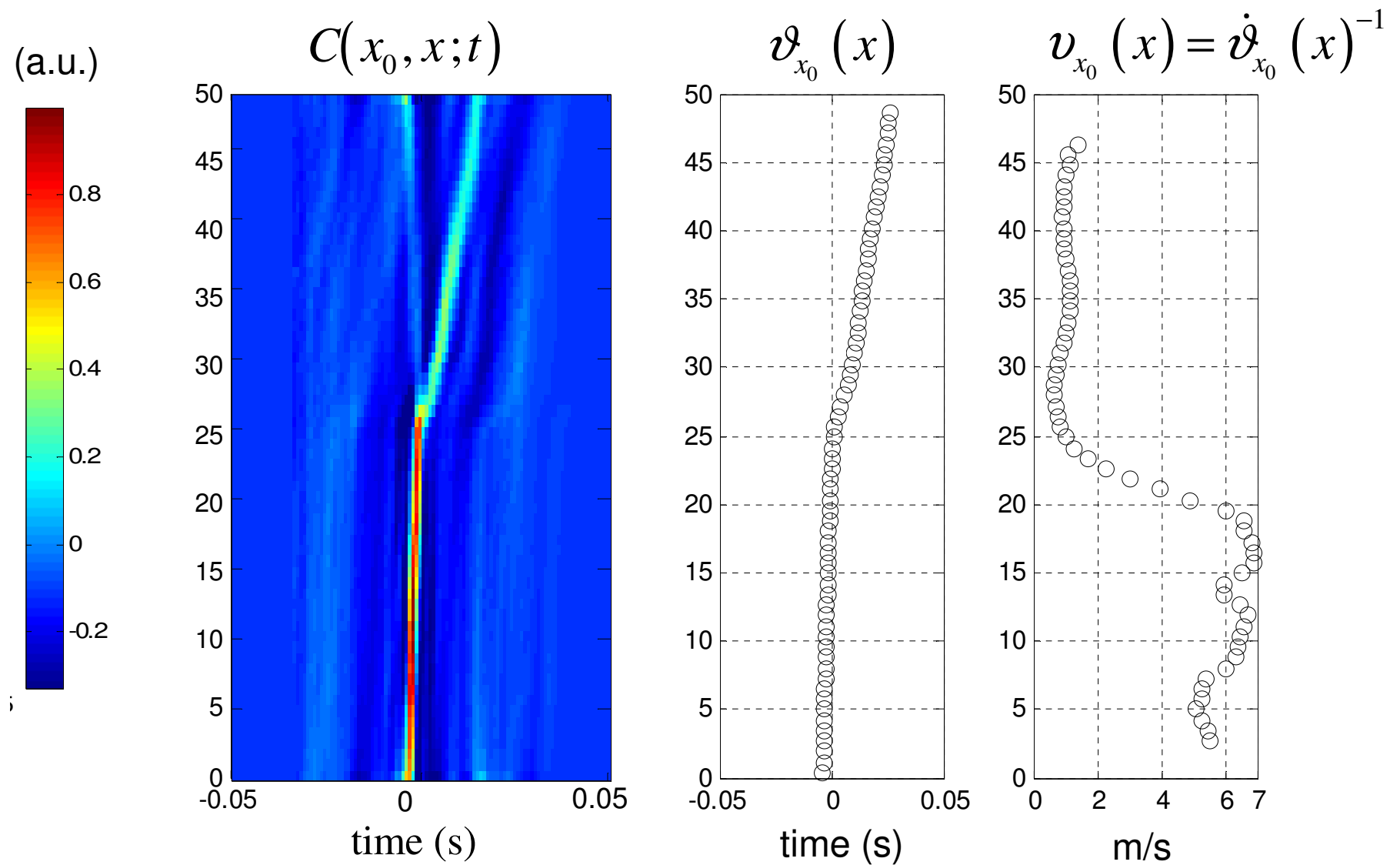


Comparison : noise/impulsion

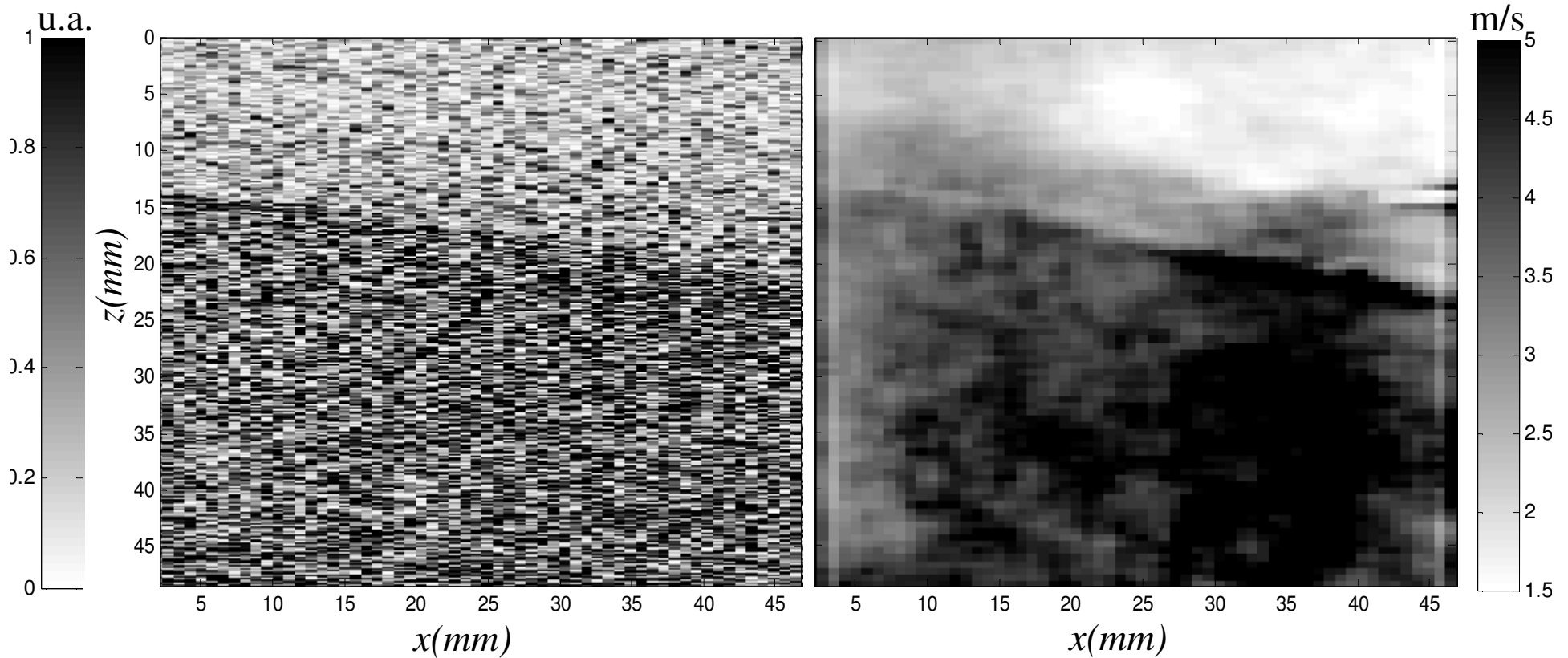
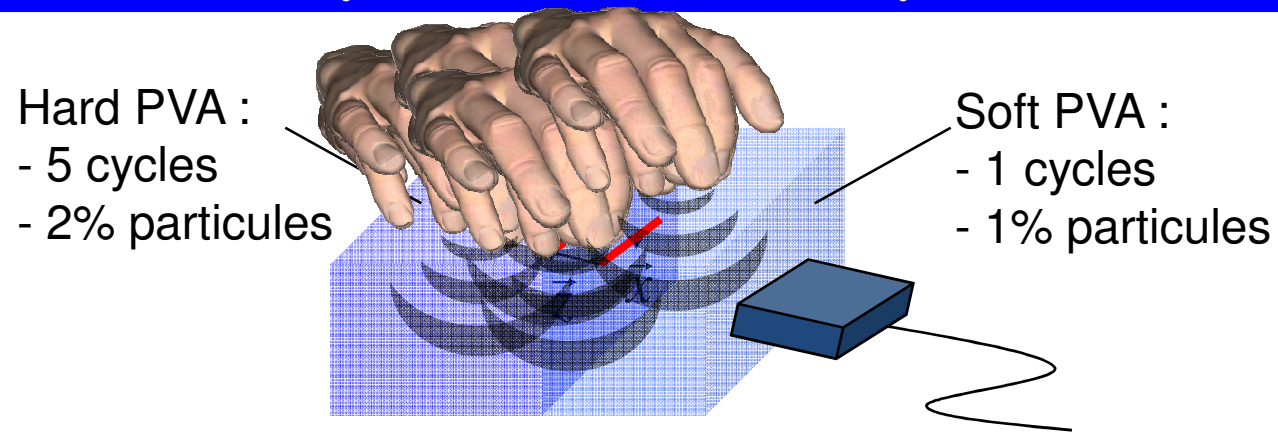


- Signal/noise ratio
- Refocusing everywhere => Imaging system

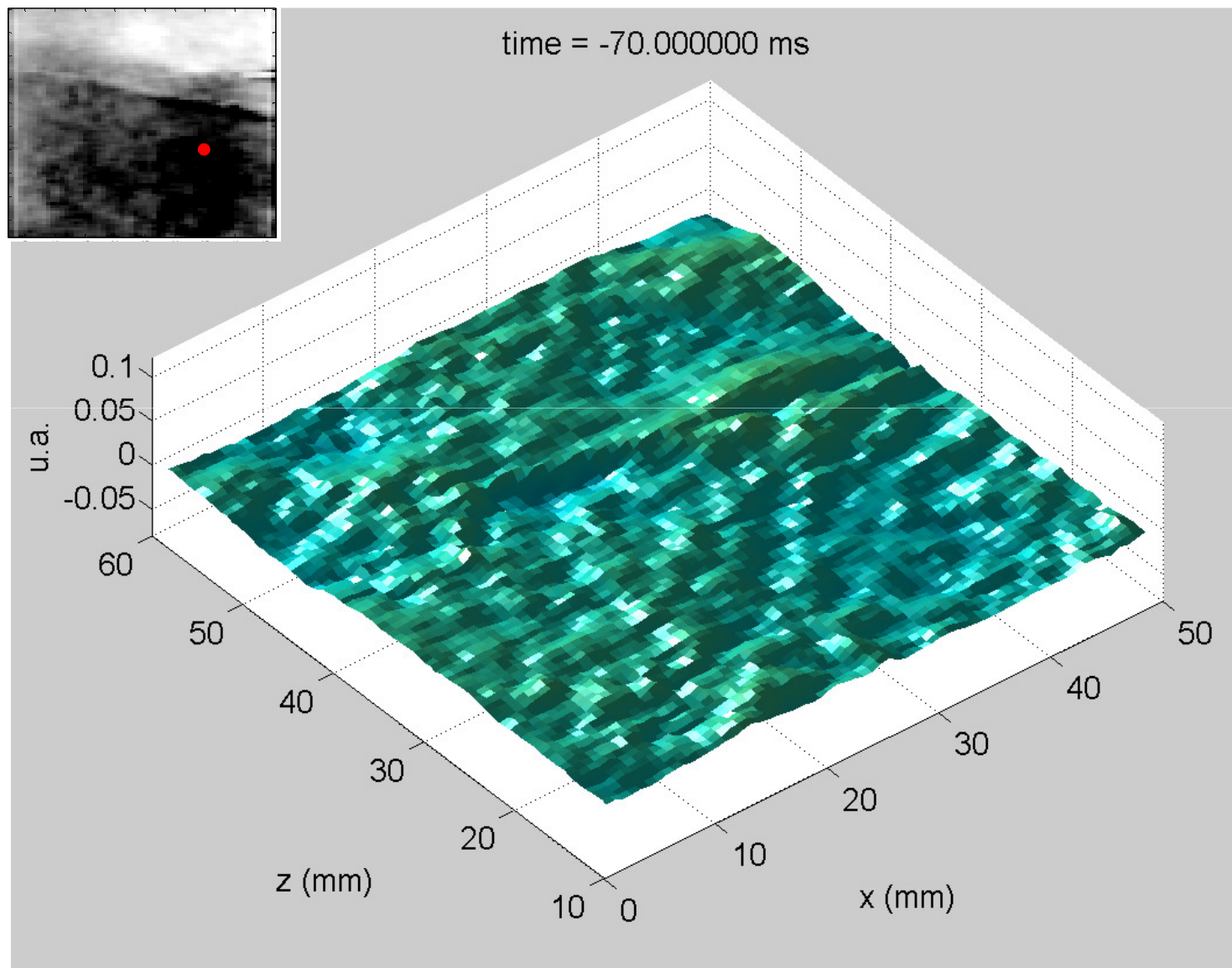
Group velocity estimation from the TR field



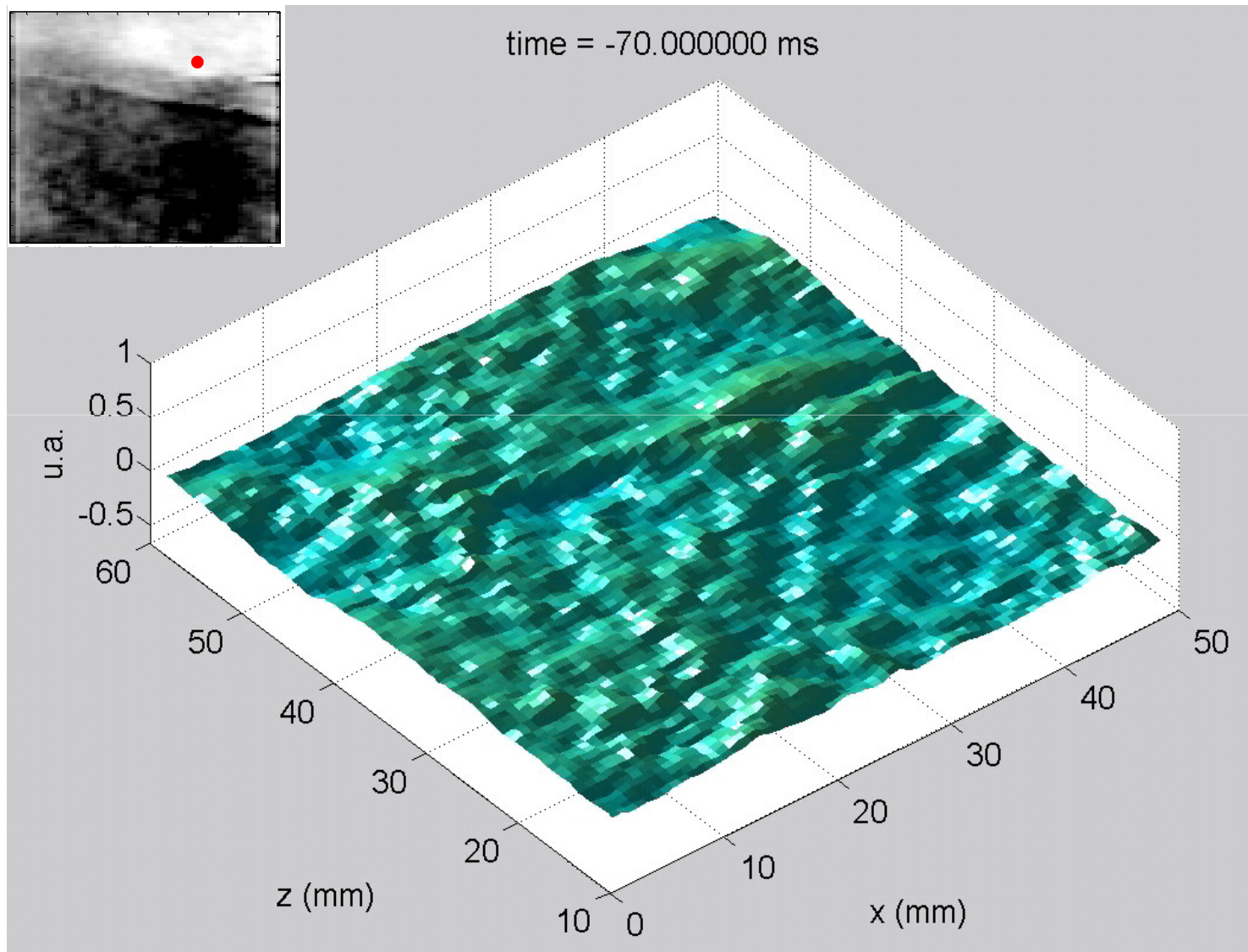
Shear velocity estimation in a bi-layer medium



TR movie – Refocusing in the hard layer



TR movie – Refocusing in the soft layer



TR movie – Refocusing on the interface

